

Espace de modules des courbes hyperelliptiques stables et une inégalité de Cornalba-Harris-Xiao

Sylvain Maugeais

Résumé

Dans cet article, on démontre une inégalité entre les degrés du conducteur et du fibré de Hodge d'une courbe stable hyperelliptique sur un anneau de valuation discrète. Pour cela, on est amené à démontrer des théorèmes de relèvement de revêtements p -cycliques afin d'obtenir des informations sur le bord de l'espace des modules des courbes hyperelliptiques. Le résultat découle alors de la géométrie de ce dernier.

Abstract

In this paper, we show an inequality between the degrees of the conductor and of the Hodge line bundle of a hyperelliptic curve over a discrete valuation ring. For that we show a result about the lifting of p -cyclic covers of the projective line. We then apply this result to get information about the boundary of the moduli space of hyperelliptic stable curves and show the inequality.

Table des matières

1	Introduction	2
2	Réduction à l'étude de l'espace des modules des courbes hyperelliptiques.	5
2.1	Construction du schéma \bar{I}_g	6
2.2	Démonstration des inégalités (2)	8

Math. Subj. Class. (2000) : 14G20, 14H10, 14H30, 14D15.

Mots clés : Courbes hyperelliptiques, courbes stables, schéma de modules, revêtement, formal patching.

3	Courbes semi-stables hyperelliptiques	12
3.1	Rappels sur les torseurs de degré p	12
3.2	Déformation de p -groupe cyclique en égale caractéristique p	14
3.3	Revêtement p -admissible et courbes hyperelliptiques	16
4	Un théorème de relèvement en égale caractéristique	19
4.1	Grphe de Hurwitz	19
4.2	Énoncé du théorème de réalisation	22
4.3	Relèvement des points isolés	24
4.4	Preuve du théorème 41	26
5	Un théorème de relèvement des courbes hyperelliptiques	27
5.1	Réduction des hypothèses du théorème 41	27
5.2	Construction des données de Hurwitz	29
5.3	Théorème de relèvement des courbes hyperelliptiques stables . . .	30
A	Calcul en caractéristique différente de 2	32
B	Calcul en caractéristique 2	37

1 Introduction

Soit $\mathcal{C} \rightarrow S$ une famille de courbes stables de genre $g \geq 2$ sur une base S . Il lui correspond alors une section $\pi : S \rightarrow \overline{M}_{g,S}$ où $\overline{M}_{g,S}$ est l'espace des modules des courbes stables de genre g sur S . Notons λ le fibré de Hodge sur $\overline{M}_{g,S}$ et δ le diviseur du bord $\overline{M}_{g,S} \setminus M_{g,S}$. Lorsque S est une courbe projective lisse sur \mathbb{C} , Cornalba, Harris [1] et Xiao [24] ont démontré indépendamment l'inégalité

$$(8g + 4) \deg \pi^* \lambda \geq g \deg \pi^* \delta. \tag{1}$$

Notre but est d'étudier l'analogie de cette inégalité lorsque S est le spectre d'un anneau de valuation discrète. Dans cette situation, tout faisceau inversible sur S est isomorphe à \mathcal{O}_S , et le degré n'est donc pas défini. En revanche, un diviseur de Cartier sur S correspond à un élément de $f \in K(S)^*$ modulo \mathcal{O}_S^* , on peut donc lui associer canoniquement un degré qui est la valuation de f . Le membre de gauche de l'inégalité (1) a un sens si on peut trouver un diviseur de Cartier D tel que $\mathcal{O}(D) \simeq \lambda$, et dont le support ne contient pas $\pi(S)$ de sorte que $\pi^* D$ soit défini. Le membre de droite est bien défini si $\pi(S)$ n'est pas contenu dans δ , ce qui équivaut à dire que $\mathcal{C} \rightarrow S$ est à fibre générique lisse.

Dans ce travail, nous considérons les courbes stables $\mathcal{C} \rightarrow S$ à fibre générique lisse et hyperelliptique. Supposons pour un instant que la fibre générique \mathcal{C}_η de ce morphisme est un revêtement de degré 2 de $\mathbb{P}_{K(S)}^1$. On a une section rationnelle

canonique du fibré $(\pi^*\lambda)^{\otimes 8g+4}$ sur S , à savoir

$$\Lambda = \Delta^g \left(\frac{dx}{2y+Q} \wedge \dots \wedge \frac{x^{g-1}dx}{2y+Q} \right)^{\otimes 8g+4} \in \left(\bigwedge^g \mathrm{H}^0(\mathcal{C}_\eta, \Omega_{\mathcal{C}_\eta/K}) \right)^{\otimes 8g+4}.$$

où $y^2 + Q(x)y - P(x)$ est une équation affine de \mathcal{C}_η , et où Δ est le discriminant de l'équation comme défini par exemple dans [11], section 1.2. Lorsque 2 est inversible dans S , Kausz a montré (conséquence immédiate de [8], Theorem 3.1) que

$$g^2\delta_s \geq \mathrm{Ord}_s(\Lambda) \geq g\delta_s,$$

où δ_s est la somme des épaisseurs des points doubles de la fibre spéciale (ou, de manière équivalente, le nombre de points singuliers de la fibre spéciale de la désingularisation minimale de \mathcal{C} sur S , cf [17], proposition 2.4). L'inégalité de droite est l'analogie de (1) dans le cas local. La première motivation de ce travail est le théorème suivant qui supprime l'hypothèse 2 inversible.

Théorème 1 *Soient R un anneau de valuation discrète, $S = \mathrm{Spec}(R)$, et $\mathcal{C} \rightarrow S$ une courbe stable dont la fibre générique C est lisse et hyperelliptique. Notons Λ la section canonique de $(\bigwedge^g \mathrm{H}^0(C, \Omega_{C/K}))^{\otimes 8g+4}$, on a alors*

$$g^2\delta_s \geq \mathrm{Ord}_s(\Lambda) \geq g\delta_s. \quad (2)$$

Notons que dans le cas d'une courbe elliptique à réduction semi-stable, ces inégalités sont des égalités. Une telle inégalité permet d'obtenir une borne sur $\omega_{\mathcal{C}/S}^2$ dans le cas arithmétique.

Corollaire 2 *Fixons une métrique C^∞ $\|\cdot\|_{\mathrm{Mod}}$ sur $\omega_{\mathcal{C}_g/\bar{H}_g}$ (\bar{H}_g est l'espace des modules des courbes stables munies d'un plongement tricanonique et \mathcal{C}_g est la courbe stable universelle sur \bar{H}_g) et un $\varepsilon > 0$. Soient K un corps de nombres, $S = \mathrm{Spec}(\mathcal{O}_K)$, $\pi : \mathcal{C} \rightarrow S$ une courbe stable de genre $g \geq 2$ à fibre générique lisse hyperelliptique. Alors il existe une constante $c' = c'(\|\cdot\|_{\mathrm{Mod}}, \varepsilon)$ ne dépendant que de $\|\cdot\|_{\mathrm{Mod}}$ et de ε telle qu'on ait l'inégalité suivante*

$$(\omega_{\mathcal{C}/S} \cdot \omega_{\mathcal{C}/S}) \leq \left(3 \frac{g^2 + \varepsilon}{2g + 1} - 1 \right) \left(\sum_{\mathfrak{p} \in S} \delta_{\mathfrak{p}} \log N_{\mathfrak{p}} + \sum_{\sigma: K \rightarrow \mathbb{C}} \delta_{\sigma}(\mathcal{C}_{\sigma}) \right) + c'[K : \mathbb{Q}]$$

où $N_{\mathfrak{p}}$ désigne le cardinal du corps résiduel de S en \mathfrak{p} et où $(\omega_{\mathcal{C}/S} \cdot \omega_{\mathcal{C}/S})$ (autointersection du fibré dualisant au sens d'Arakelov) et $\delta_{\sigma}(\mathcal{C}_{\sigma})$ (δ invariant de \mathcal{C}) sont définis à l'aide de la métrique $\|\cdot\|_{\mathrm{Mod}}$ sur $\omega_{\mathcal{C}/S}$.

Cette borne est prouvée dans [8] sous l'hypothèse que \mathcal{C} a bonne réduction au dessus de 2. Elle est de la forme conjecturée par Moret-Bailly dans [17] et on sait qu'une telle inégalité, si elle était montrée dans le cas général (et pas seulement

dans le cas hyperelliptique), aurait des conséquences arithmétiques importantes (tel que la conjecture *abc*).

Le théorème 1 peut être considéré comme la positivité des diviseurs $g^2\delta - \Lambda$ et $\Lambda - g\delta$ sur un espace de modules des courbes stables hyperelliptiques. Comme la positivité se vérifie aux points de codimension 1, elle découlera des inégalités (2), déjà prouvées en égale caractéristique 0 (cf. Appendice A), si l'espace de modules en question est suffisamment "sympathique". Plus précisément, nous aurons besoin du résultat d'irréductibilité qui suit. Pour tout schéma T , notons $I_{g,T}$ l'adhérence schématique de l'espace de modules des courbes lisses hyperelliptiques $I_{g,T}$ dans le schéma de Hilbert $\overline{H}_{g,T}$ des courbes stables tricanoniques sur T . Cette construction ne donne pas à proprement parler un espace de modules, elle n'est pas même fonctorielle. Nous avons cependant un résultat de compatibilité des fibres.

Théorème 3 *Soit S le spectre d'un anneau de valuation discrète, de point fermé s . Alors on a l'égalité des ensembles*

$$\overline{I}_{g,S} \times_S \text{Spec } \kappa(s) = \overline{I}_{g,s}.$$

En particulier, $\overline{I}_{g,S} \times_S \text{Spec } \kappa(s)$ est irréductible.

Dans un article à venir, nous construirons un espace de modules fin des courbes stables hyperelliptiques et étudierons ses diverses propriétés (structure locale, topologie, ...). Le théorème 1 est prouvé dans la section 2, en admettant le théorème 3. En terme plus concret, ce dernier peut s'énoncer comme suit.

Théorème 4 *Soient k un corps algébriquement clos et $C \rightarrow \text{Spec } k$ une courbe stable hyperelliptique (définition 36). Alors il existe un anneau de valuation discrète R d'égale caractéristique, de corps résiduel k , et une courbe $C \rightarrow \text{Spec } R$ dont la fibre générique est lisse et hyperelliptique et dont la fibre spéciale s'identifie à C .*

La preuve de ce théorème constitue le coeur de cet article. Esquissons brièvement la démarche. La partie non triviale est quand car $k = 2$. Par définition, C est la réduction d'une courbe lisse hyperelliptique en caractéristique nulle. On sait alors que C est un revêtement 2-admissible d'une courbe de genre arithmétique 0 (définition 34). *Grosso modo*, cela veut dire qu'il existe un morphisme fini surjectif $C \rightarrow X$ de degré 2 avec $p_a(X) = 0$, que chaque composante irréductible de C possède un ouvert non vide muni d'une structure de torseur sous un des groupes algébriques $\mathbb{Z}/2\mathbb{Z}$, μ_2 ou α_2 sur k , et qu'aux points d'intersection de C on se donne des invariants numériques vérifiant une condition de compatibilité. On montre que quitte à ajouter des droites projectives à C et à modifier la structure des torseurs, on peut munir C d'un graphe de Hurwitz *adapté* (définition 40). Ensuite, on déforme la partie lisse de C à l'aide des théorèmes généraux de relèvement de torseurs (section 3.2), et on déforme formellement les points d'intersection.

On applique alors la technique de “formal patching” pour relever globalement C . La définition d’un graphe de Hurwitz adapté assure que les conditions locales et globales de recollement sont bien vérifiées.

Le théorème 4 est également valable pour les revêtements p -admissibles d’une courbe de genre arithmétique 0. La technique employée ici s’inspire des travaux d’Henrio [7] et de Saïdi [21], [22], [23] sur le relèvement en inégales caractéristiques, avec des problèmes spécifiques à la situation d’égale caractéristique.

La preuve du théorème 4 est répartie dans les sections 3 – 5. La section 3 commence (après quelques rappels sur les toseurs sous des schémas en groupes d’ordre p) par définir ce qu’est une courbe hyperelliptique stable sur un corps algébriquement clos. Plus généralement, on donne la définition d’un revêtement p -admissible en caractéristique p . La section 4 est dédiée à la démonstration par des méthodes de “formal patching” d’un théorème de relèvement de certains revêtements p -admissibles (ne faisant intervenir que certains types de toseurs et munis de plus d’un arbre de Hurwitz) en égale caractéristique. La section 5 permet de voir que tout revêtement p -admissible peut en fait être transformé en un revêtement p -admissible satisfaisant les conditions de la section 4. On montre ainsi que les fibres géométriques de l’espace des modules sont irréductibles.

L’annexe A donne une preuve simple des inégalités (2) dans le cas où $\text{car } k \neq 2$, et où \mathcal{C}_s ne possède qu’un point singulier (donc au plus deux composantes irréductibles). Le calcul est similaire à celui de [8], mais est plus simple dûe à notre hypothèse. Dans l’annexe B, on montre le théorème 1 par un calcul explicite lorsque \mathcal{C}_s est comme ci-dessus, mais avec $\text{car } k = 2$. Cet appendice n’est pas utilisé dans le reste de l’article.

L’auteur remercie Yannick Henrio pour ses conseils précieux sur les méthodes utilisées pour le relèvement des courbes, et Qing Liu pour l’attention qu’il a portée à mon travail.

Convention Dans tout cet article, R sera un anneau de valuation discrète de valuation ν , de corps des fractions K et de corps résiduel k , t sera une uniformisante de R . Le point fermé de $\text{Spec}(R)$ sera noté s et le point générique η . Certains graphes seront orientés. Si a est une arête orientée d’un graphe orienté, on notera \bar{a} l’arête opposée. Les exposants o et t tiendront alors respectivement pour le sommet origine et le sommet terminal. Les courbes sur un schéma S seront des courbes à fibres géométriquement connexes.

2 Réduction à l’étude de l’espace des modules des courbes hyperelliptiques.

On cherche dans cette section à définir un schéma proche de ce que serait l’espace des modules des courbes stables hyperelliptiques s’il existait, et à en donner quelques propriétés. Plus précisément, nous allons considérer l’adhérence

du lieu hyperelliptique lisse dans l'espace des modules des courbes stables.

2.1 Construction du schéma \bar{I}_g

On fixe un entier $g \geq 2$. Pour tout schéma S , considérons le foncteur

$$\begin{aligned} (\text{Schémas}/S) &\rightarrow (\text{Ensembles}) \\ T &\mapsto \left\{ \begin{array}{l} \pi : \mathcal{C} \rightarrow T, \text{ courbe stable de genre } g \\ \text{avec isomorphisme } \mathbb{P}(\pi_*\omega_{\mathcal{C}/T}^{\otimes 3}) \cong \mathbb{P}_T^{5g-6} \end{array} \right\} / \text{iso} \end{aligned}$$

On sait ([2]) que ce foncteur est représentable par un schéma de Hilbert $\bar{H}_{g,S}$. De même, le foncteur des courbes lisses de genre g munies de plongement tricanonique est représentable par un sous schéma ouvert de $\bar{H}_{g,S}$ qu'on notera $H_{g,S}$. La définition de courbe hyperelliptique lisse sur une base quelconque se trouve dans [15].

Définition 5 Soit $\mathcal{C} \rightarrow S$ une courbe lisse et projective de genre g . Elle est dite *hyperelliptique* s'il existe une involution $\sigma \in \text{Aut}_S(\mathcal{C})$ telle que pour tout point géométrique \bar{s} de S le quotient $\mathcal{C}_{\bar{s}} / \langle \sigma \rangle$ soit isomorphe à $\mathbb{P}_{\text{Spec } \kappa(\bar{s})}^1$.

Proposition 6 Soient S un schéma et $\pi : \mathcal{C} \rightarrow S$ une courbe projective lisse de genre $g \geq 2$.

- (1) Si $\mathcal{C} \rightarrow S$ est hyperelliptique, alors il existe un morphisme fidèlement plat $T \rightarrow S$ et un morphisme fini et fidèlement plat $\mathcal{C} \times_S T \rightarrow \mathbb{P}_T^1$ de degré 2.
- (2) Supposons que S est régulier, connexe et de dimension 1, de point générique η . Alors $\mathcal{C} \rightarrow S$ est hyperelliptique si et seulement si $\mathcal{C}_\eta \rightarrow \text{Spec } \kappa(\eta)$ est hyperelliptique.
- (3) La courbe $\pi : \mathcal{C} \rightarrow S$ est hyperelliptique si et seulement si l'image du morphisme canonique $\mathcal{C} \rightarrow \mathbb{P}(\pi_*\Omega_{\mathcal{C}/S}^1)$ est une courbe de genre 0 et si sa formation commute au changement de base.

Preuve : La propriété (1) provient de [15] Theorem 5.5, la propriété (2) de [15] Proposition 5.14, et la propriété (3) de [15] Theorem 5.5. \square

On souhaite alors prouver la représentabilité du foncteur

$$\begin{aligned} \underline{Hyp} : (\text{Schémas}/S) &\rightarrow (\text{Ensembles}) \\ T &\mapsto \left\{ \begin{array}{l} \pi : \mathcal{C} \rightarrow T, \text{ courbe lisse} \\ \text{hyperelliptique de genre } g \\ \text{avec isomorphisme } \mathbb{P}(\pi_*\omega_{\mathcal{C}/T}^{\otimes 3}) \cong \mathbb{P}_T^{5g-6} \end{array} \right\} / \text{iso} \end{aligned}$$

Proposition 7 Le foncteur \underline{Hyp} est représentable par un sous schéma fermé de $H_{g,S}$.

Preuve : On suit la démonstration donnée dans [9], Theorem 3. Soit $\pi : \mathfrak{C} \rightarrow H_{g,S}$ la courbe stable universelle de genre g sur S , et D l'image schématique du morphisme $f : \mathfrak{C} \rightarrow \mathbb{P}(\pi_*\Omega_{\mathfrak{C}/H_{g,S}}^1) =: \mathbb{P}$ (on sait que f est bien défini car $\pi^*\pi_*\Omega_{\mathfrak{C}/H_{g,S}}^1 \rightarrow \Omega_{\mathfrak{C}/H_{g,S}}^1$ est surjectif). On définit alors Q comme étant le conoyau de l'homomorphisme induit $\mathcal{O}_{\mathbb{P}} \rightarrow f_*\mathcal{O}_{\mathfrak{C}}$. Pour tout point géométrique P de $H_{g,S}$, il ne peut se produire que deux cas :

- (1) $f_P : \mathfrak{C}_P \rightarrow D_P$ est un isomorphisme et $Q_P = 0$ (c'est à dire que le morphisme canonique f est une immersion), auquel cas la courbe est non hyperelliptique ;
- (2) $D_P \cong \mathbb{P}_P^1$ et $Q_P \cong \mathcal{O}_{\mathbb{P}^1}(-g-1)$ (c'est à dire que le morphisme canonique f à pour image une droite projective), auquel cas la courbe est hyperelliptique (cf [15], section 5). Ainsi, seuls deux polynômes de Hilbert peuvent arriver pour Q_P , donc la stratification platifiante de Q sur $H_{g,S}$ (qui existe par [18], Lecture 8) est constituée de deux sous-schémas disjoints localement fermés F_1 et F_2 (correspondant respectivement aux cas (1) et (2)). En particulier, F_2 est fermé car il correspond au support de Q . Il reste à montrer que F_2 correspond au courbes hyperelliptiques mais ceci découle de [15] Proposition 2.13 et de la proposition 6, 3 □

Pour tout schéma S , on note alors $I_{g,S}$ le sous-schéma fermé de $H_{g,S}$ qui représente le foncteur Hyp (c'est à dire F_2). On notera $\bar{I}_{g,S}$ l'adhérence schématique de $I_{g,S}$ dans $\bar{H}_{g,S}$. Si S est réduit (resp. intègre) alors $I_{g,S}$ aussi (car $I_{g,S} \rightarrow S$ est lisse par [9] Theorem 2), et il en est donc de même pour $\bar{I}_{g,S}$. De plus, pour tout morphisme de schéma $T \rightarrow S$, on a une immersion fermée $\bar{I}_{g,S} \times_S T \rightarrow \bar{I}_{g,T}$ et les deux schémas ont même espaces sous jacents. Si $T \rightarrow S$ est plat alors ce morphisme est un isomorphisme, ceci découlant du lemme

Lemme 8 *Soit S un schéma, $f : X \rightarrow Y$ un morphisme de S schéma séparé et de type fini. Notons $\text{Im}f$ l'image schématique de f . Alors, pour tout schéma morphisme plat $T \rightarrow S$ on a $\text{Im}(f \times \text{Id}_T) = \text{Im}f \times_S T$.*

Preuve : Le schéma $\text{Im}f$ est le sous schéma fermé de Y défini par le faisceau d'idéaux $\ker(\mathcal{O}_Y \rightarrow f_*\mathcal{O}_X)$. Le résultat provient alors du fait que la formation de $f_*\mathcal{O}_X$ commute au changement de base plat lorsque f est séparé et de type fini et, par suite, que la formation du noyau commute au changement de base plat. □

Remarque 9 *Soit T un S -schéma intègre. Soit $\mathcal{C} \rightarrow T$ une courbe stable dont la fibre générique est lisse et hyperelliptique. On a alors un morphisme $T \rightarrow \bar{H}_{g,S}$ dont l'image est (ensemblément) contenue dans $\bar{I}_{g,S}$. Par suite, ce morphisme se factorise par l'inclusion $\bar{I}_{g,S} \rightarrow \bar{H}_{g,S}$ car T est réduit.*

Examinons maintenant le bord de $\bar{I}_{g,\mathbb{C}}$. Soit i un entier tel que $0 \leq i \leq g/2$. Soit $C \rightarrow \text{Spec } k$ une courbe stable de genre g sur un corps algébriquement clos k . Un point P de C sera dit de type β_i si la normalisation de C en P est composée

de deux composantes connexes de genre respectif i et $g - i$ si $i \neq 0$, et connexe si $i = 0$. Notons Δ_i le lieu des points de $\bar{H}_{g,\mathbb{C}}$ correspondant à des courbes stables C de genre g ayant un point singulier de type β_i . Il est prouvé dans [2], §3 que Δ_i est irréductible et que $\bar{H}_{g,\mathbb{C}} \setminus H_{g,\mathbb{C}} = \cup_i \Delta_i$. D'autre part, on montre ([1], Section 4, §b) que si $i > 0$ alors $\Delta_i \cap \bar{I}_{g,\mathbb{C}}$ est irréductible, et qu'on a une décomposition en composantes irréductibles

$$\Delta_0 \cap \bar{I}_{g,\mathbb{C}} = \bigcup_{j=0}^{[(g-1)/2]} \Xi_j$$

où Ξ_j est définie de la manière suivante. Soient $C \rightarrow \text{Spec } \mathbb{C}$ un point de $\bar{I}_{g,\mathbb{C}}$ et σ l'involution canonique de C (qui provient du fait que C est la réduction d'une courbe hyperelliptique lisse). Si $j > 0$, un point singulier P de C est dit de type α_j si P n'est pas fixe par σ et que la normalisation partielle de C en P et $\sigma(P)$ est composé de deux composantes connexes de genre respectif j et $g - j - 1$. Un point singulier P est dit de type α_0 s'il est fixe par σ et si l'involution hyperelliptique permutte les branches analytiques de C en P . L'ensemble Ξ_j est alors le lieu des points de $\bar{I}_{g,\mathbb{C}}$ représentant des courbes ayant un point de type α_j .

2.2 Démonstration des inégalités (2)

Soient S un schéma, $i : \bar{I}_{g,S} \rightarrow \bar{H}_{g,S}$ l'inclusion, δ le diviseur du bord (c'est à dire le diviseur obtenu par changement de base $S \rightarrow \text{Spec } \mathbb{Z}$ à partir de $\bar{H}_{g,\mathbb{Z}} \setminus H_{g,\mathbb{Z}}$), on sait ([2], Corollary 1.9) que c'est un diviseur de Cartier, et λ le fibré de Hodge sur $\bar{H}_{g,S}$ (c'est à dire que pour une courbe stable $\pi : \mathcal{C} \rightarrow T$ à laquelle correspond un morphisme $\mu : T \rightarrow \bar{H}_{g,S}$ on a $\mu^* \lambda = \det(\pi_* \omega_{\mathcal{C}/T})$). Dans le cas où le schéma de base est le spectre d'un anneau de valuation discrète, on a les interprétations suivantes :

Proposition 10 *Soient R un anneau de valuation discrète dont le corps résiduel est algébriquement clos et $S = \text{Spec } R$. Soit $\mathcal{C} \rightarrow S$ une courbe stable dont la fibre générique est lisse. Soit $\mu : S \rightarrow \bar{H}_{g,S}$ une section correspondant à un plongement tricanonique de \mathcal{C} . Soient q_1, \dots, q_r les points singuliers de la fibre spéciale \mathcal{C}_s d'épaisseurs respectives $e(q_1), \dots, e(q_r)$ dans \mathcal{C} , t une équation locale de δ en $\mu(s)$. Alors $\sum_{i=1}^r e(q_i) = \nu_K(\mu^\#(t))$.*

Preuve : Voir [10], section 5, Lemme. □

Remarque 11 Cette interprétation est encore vérifiée par l'image réciproque $\delta' := i^* \delta$ de δ sur $\bar{I}_{g,S}$.

Remarque 12 Notons λ' l'image réciproque du fibré de Hodge λ sur $\bar{I}_{g,S}$. Soient $\mathcal{C} \rightarrow S$ une courbe hyperelliptique et $T \rightarrow S$ un morphisme. On montre aisément que la formation du fibré λ' commute au changement de base.

Proposition 13 *Soient T un schéma et $\mathcal{C} \rightarrow T$ une courbe lisse hyperelliptique. Alors il existe une section canonique $\Lambda_{\mathcal{C}/T} \in (\det H^0(\mathcal{C}, \omega_{\mathcal{C}/T}))^{\otimes 8g+4}$ qui est une base et dont la formation commute au changement de base.*

Preuve : Traitons d'abord le cas où il existe un morphisme $f : \mathcal{C} \rightarrow \mathbb{P}_T^1$ fidèlement plat et fini de degré 2. Alors il existe un recouvrement de T par des schémas affines $T_i = \text{Spec } A_i$ tel que \mathcal{C}_{T_i} contient un ouvert isomorphe à

$$\text{Spec } A_i[x, y]/(y^2 + Q_i(x)y - P_i(x)).$$

On montre alors que

$$\Lambda_{\mathcal{C}_{T_i}/T_i} = \Delta^g \left(\frac{dx}{2y + Q_i} \wedge \dots \wedge \frac{x^{g-1} dx}{2y + Q_i} \right)^{\otimes 8g+4}$$

(où Δ est le discriminant de l'équation comme défini par exemple dans [11], section 1.2) définit une base et ne dépend pas du choix de l'équation (cf par exemple [8] Proposition 2.2).

Soit V un ouvert affine de $T_i \cap T_j$, alors

$$\Lambda_{\mathcal{C}_{T_i}/T_i}|_V = \Lambda_{\mathcal{C}_{T_j}/T_j}|_V$$

car ces deux sections ne dépendent pas des équations choisies. On peut donc recoller les $\Lambda_{\mathcal{C}_{T_i}/T_i}$ et ainsi obtenir une section $\Lambda_{\mathcal{C}/T}$.

Dans le cas général, d'après [15], Theorem 5.5, on peut trouver une famille de schémas T'_i affines et un morphisme fidèlement plat $\cup_i T_i \rightarrow T$ tel que pour tout i , il existe un morphisme fidèlement plat $\mathcal{C} \times_T T'_i \rightarrow \mathbb{P}_{T'_i}^1$ de degré 2. Par suite, on peut définir pour tout i une section $\Lambda_{\mathcal{C}_{T'_i}/T'_i}$. Il reste alors à recoller ces sections. Mais comme la formation de λ commute au changement de base, et que le préfaisceau (fppf) associé au faisceau (Zariski) cohérent λ est un faisceau, le résultat provient de l'unicité de la section canonique sur $T_i \times_T T_j$. \square

Soient $S = \text{Spec } R$ le spectre d'un anneau de valuation discrète, $\pi : \mathcal{C} \rightarrow S$ une courbe stable dont la fibre générique est lisse et hyperelliptique, et $\mu : S \rightarrow \bar{I}_{g,S}$ une section de $\bar{I}_{g,S}$ correspondante. Notons Λ la section canonique $\Lambda_{\mathcal{C}_\eta/K}$ du fibré de Hodge sur S . Si Λ_0 est une base de $\mu^* \lambda^{\otimes 8g+4}$, il existe $a \in K$ tel que $\Lambda = a\Lambda_0$. On note alors $\text{Ord}_s(\Lambda) = \nu(a)$ et δ_s la somme des épaisseurs des points doubles de la fibre spéciale de \mathcal{C} .

Notons Λ' la section canonique de $\lambda^{\otimes 8g+4}$ sur $\bar{I}_{g,S}$ et D le diviseur de Cartier sur $\bar{I}_{g,S}$ associé à la section rationnelle Λ' .

Proposition 14 *Soit $\mu : S \rightarrow \bar{I}_{g,S}$ un morphisme correspondant à une courbe stable hyperelliptique $\mathcal{C} \rightarrow S$ dont la fibre générique est lisse, alors $\text{mult}(\mu^* D) = \text{Ord}_s(\Lambda)$.*

Preuve : Soit Λ_0 une base locale de $\lambda'^{\otimes 8g+4}$ au voisinage de $\mu(s)$. La fonction méromorphe $a = \Lambda'/\Lambda_0$ est alors une équation locale du diviseur de Cartier D . On a, par définition, $\text{mult}(\mu^*D) = \text{mult}_R(\mu^*a) = \text{Ord}_s(\Lambda)$. \square

Lemme 15 *Soit A un anneau noetherien normal, alors pour tout $f \in \text{Frac}(A)$, $f \in A$ si et seulement si pour tout $\mathfrak{p} \in \text{Spec } A$ de hauteur 1 on a $\text{mult}_{A_{\mathfrak{p}}}(f) \geq 0$.*

Preuve : Cela résulte de l'égalité

$$A = \bigcap_{\mathfrak{p} \in \text{Spec } A, \text{ht}(\mathfrak{p})=1} A_{\mathfrak{p}}.$$

\square

Le théorème suivant, dont la démonstration fait l'objet des sections suivantes, est alors le point clef de la démonstration du théorème 1.

Théorème 16 *Soient T un schéma régulier et de dimension 1, et τ un point de T . On a l'égalité (ensembliste) $\bar{I}_{g,T} \times_T \text{Spec } \kappa(\tau) = \bar{I}_{g, \text{Spec } \kappa(\tau)}$. En particulier, $\bar{I}_{g,T} \times_T \text{Spec } \kappa(\tau)$ est irréductible.*

Ce théorème sera prouvé dans la section 5.3.

Corollaire 17 *Soit T un schéma régulier de dimension 1 dont le corps des fonctions est de caractéristique zéro (T est donc excellent), alors le diviseur de Cartier $D - g\delta'$ est effectif sur le normalisé $\bar{I}'_{g,T}$ de $\bar{I}_{g,T}$.*

Preuve : D'après le lemme 15 il suffit de montrer que pour tout point générique ξ' de $\bar{I}'_{g,T}$ de hauteur 1, on a $\text{mult}_{\xi'}(D - g\delta') \geq 0$. Notons ξ l'image de ξ' dans $\bar{I}_{g,T}$. Comme T est excellent, le morphisme $\bar{I}'_{g,T} \rightarrow \bar{I}_{g,T}$ est fini et $\bar{I}_{g,T}$ est universellement caténaire. Par suite, d'après [3] Proposition 5.6.10, le point ξ est de hauteur 1 dans $\bar{I}_{g,T}$.

Notons A l'anneau local de $\bar{I}'_{g,T}$ en ξ' et $\mathcal{C} \rightarrow \text{Spec } A$ la courbe correspondant au morphisme $\text{Spec } A \rightarrow \bar{I}_{g,T}$. Ainsi défini, A est un anneau de valuation discrète et la fibre générique de $\mathcal{C} \rightarrow \text{Spec } A$ est lisse car le point générique de A correspond au point générique de $\bar{I}_{g,T}$. Par suite, on a $\text{mult}_{\xi'}(D - g\delta') = \text{Ord}_{\xi'}(\Lambda) - g\delta_{\xi'}$.

Supposons que ξ' ne soit pas dans la fibre générique de $\bar{I}'_{g,T} \rightarrow T$. Notons τ l'image de ξ' dans T . Comme $I_{g,T} \times_T \text{Spec } \kappa(\tau)$ est dense dans $\bar{I}_{g,T} \times_T \text{Spec } \kappa(\tau)$ d'après le théorème 16, les points de $\bar{I}_{g,T} \times_T \text{Spec } \kappa(\tau) \setminus I_{g,T} \times_T \text{Spec } \kappa(\tau)$ sont de codimension ≥ 1 dans $\bar{I}_{g,T} \times_T \text{Spec } \kappa(\tau)$. Il s'ensuit que $\xi \in I_{g, \text{Spec } \kappa(\tau)}$. Par suite, \mathcal{C} est lisse et on sait que pour de telle courbe, on a $\text{Ord}_{\xi'}(\Lambda) - g\delta_{\xi'} = 0$, c'est à dire que $D - g\delta'$ est effectif en ξ' .

Supposons que ξ' soit dans la fibre générique de $\bar{I}'_{g,T} \rightarrow T$. Comme ξ est de hauteur 1, la fibre spéciale de $\mathcal{C} \rightarrow \text{Spec } A$ possède au plus deux composantes irréductibles (cf. fin de la section 2.1). D'après le calcul fait en caractéristique zéro (cf annexe A) on a $\text{Ord}_s(\Lambda) - g\delta_s \geq 0$ donc $\text{mult}_{\xi'}(D - g\delta') \geq 0$, ce qui prouve que $D - g\delta'$ est effectif sur $\bar{I}'_{g,T}$. \square

Lemme 18 Soient X un schéma intègre quasi-compact, D_0 un diviseur de Cartier effectif, $Z = \text{supp}(D_0)$ et $U = X \setminus Z$. Soit E un diviseur de Cartier sur X tel que $E|_U$ soit effectif. Alors il existe un entier $n \in \mathbb{N}$ tel que $D + nD_0$ soit effectif.

Preuve : Quitte à remplacer X par des ouverts affines assez petits, on peut supposer que $X = \text{Spec } A$. Soit f une équation locale définissant D_0 et s une équation locale définissant D . Comme on a $\mathcal{O}_X(U) = A_f$, s est de la forme a/f^n , ce qui démontre le lemme. \square

Soient S le spectre d'un anneau de valuation discrète et $\mathcal{C} \rightarrow S$ une courbe stable à fibre générique lisse hyperelliptique. Elle est alors munie d'un plongement tricanonique. Il lui correspond un morphisme

$$\mu : S \rightarrow \bar{H}_{g,S}.$$

Comme la courbe \mathcal{C} est hyperelliptique et que R est réduit, ce morphisme se factorise par $\bar{I}_{g,S}$ (cf Remarque 9) et on a le diagramme

$$\begin{array}{ccc} S & \xrightarrow{\mu} & \bar{H}_{g,S} \\ & \searrow^{\mu'} & \uparrow \\ & & \bar{I}_{g,S} \end{array}$$

Preuve du théorème 1 : Tout d'abord, quitte à changer R en son complété (ce qui ne change pas les valuations $\text{Ord}_s(\Lambda)$ et δ_s), on peut supposer que R est complet. Par suite, il existe un schéma excellent T dont le corps de fraction est de caractéristique zéro et tel que la courbe $\mathcal{C} \rightarrow S$ corresponde à un morphisme $\mu : S \rightarrow \bar{I}_{g,T}$ (on peut prendre $T = \text{Spec} R$ si $\text{carFrac}(R) = 0$ et dans le cas contraire, $T = \text{Spec} W(k)[[t]]$ où $W(k)$ est l'anneau des vecteurs de Witt du corps résiduel de T). Notons x l'image du point fermé de S par μ et A l'anneau local de x dans $\bar{I}_{g,T}$. On a alors un morphisme $\mu^\# : A \rightarrow R$. Par suite, si f est une équation locale de D sur un voisinage $X = \text{Spec } A$ de x , et h est une équation locale de $g\delta'$, $f/h \in A'$ (clôture intégrale de A) d'après le corollaire 17 et le lemme 15. C'est à dire qu'il existe $a_{m-1}, \dots, a_0 \in A$ tel que $(f/h)^m + a_{m-1}(f/h)^{m-1} + \dots + a_0 = 0$. Or d'après le lemme 18 il existe un entier n tel que le diviseur de Cartier $D + n\delta'$ soit effectif, ce qui equivaut à dire que fh^n est une fonction régulière sur A . D'autre part, $\mu^\#(h) \neq 0$ (car la fibre générique de \mathcal{C} est lisse) et comme $\mu^\#((fh^n)^m + a_{m-1}(fh^n)^{m-1}h^{n+1} + \dots + a_0h^{(n+1)m}) = 0$, on voit que $\mu^\#(fh^n)/\mu^\#(h^{n+1})$ est entière sur R , donc appartient à R .

D'autre part, comme la formation de D et de δ' commute au changement de base $S \rightarrow \text{Spec } A$, l'ordre de $\mu^\#(fh^{n+1})/\mu^\#(h^n)$ dans R est égal à $\text{Ord}_s(\Lambda) - g\delta'$ d'après les propositions 14 et 10, ce qui démontre le théorème.

Le même raisonnement pouvant être tenu pour le diviseur $g^2\delta' - D$, les inégalités (2) sont démontrées. \square

On peut dès lors supprimer l'hypothèse de bonne réduction en 2 dans [8] Theorem 6 et Theorem 7.1, et obtenir le corollaire suivant

Corollaire 19 *Fixons une métrique C^∞ $\|\cdot\|_{Mod}$ sur $\omega_{\mathcal{C}_g/\bar{H}_g}$ (\mathcal{C}_g est la courbe stable universelle sur \bar{H}_g) et un $\varepsilon > 0$. Soient K un corps de nombres, $S = \text{Spec}(\mathcal{O}_K)$, $\pi : \mathcal{C} \rightarrow S$ une courbe stable de genre $g \geq 2$ dont la fibre générique est hyperelliptique. Alors il existe une constante $c' = c'(\|\cdot\|_{Mod}, \varepsilon)$ ne dépendant que de $\|\cdot\|_{Mod}$ et de ε telle qu'on ait l'inégalité suivante*

$$(\omega_{\mathcal{C}/S} \cdot \omega_{\mathcal{C}/S}) \leq \left(3 \frac{g^2 + \varepsilon}{2g + 1} - 1\right) \left(\sum_{\mathfrak{p} \in S} \delta_{\mathfrak{p}} \log N_{\mathfrak{p}} + \sum_{\sigma: K \rightarrow \mathbb{C}} \delta_{\sigma}(\mathcal{C}_{\sigma}) \right) + c'[K : \mathbb{Q}]$$

où $N_{\mathfrak{p}}$ désigne le cardinal du corps résiduel de S en \mathfrak{p} et où $(\omega_{\mathcal{C}/S} \cdot \omega_{\mathcal{C}/S})$ (autointersection du fibré dualisant au sens d'Arakelov) et $\delta_{\sigma}(\mathcal{C}_{\sigma})$ (δ invariant de \mathcal{C}) sont définis à l'aide de la métrique $\|\cdot\|_{Mod}$ sur $\omega_{\mathcal{C}/S}$.

3 Courbes semi-stables hyperelliptiques

3.1 Rappels sur les toiseurs de degré p

Soient X un schéma localement noetherien et G un schéma en groupes affine d'ordre p sur X . Les G -toiseurs au-dessus de X sont alors classifiés à isomorphisme près par $H^1(X, G)$ (cf [16], Corollary III.4.7 et Corollary III.2.10), la cohomologie étant prise au sens ppf (plate et de présentation finie). D'autre part, dans le cas où G est isomorphe à α_p ou μ_p et où X est une variété algébrique sur un corps parfait de caractéristique p , on a une description des G -toiseurs au-dessus de X en terme de formes différentielles.

Théorème 20 *Soit X comme ci-dessus. Notons C l'opérateur de Cartier sur $H^0(X, \Omega_X^1)$, on a*

$$H^1(X, \alpha_p) = \{\omega \in H^0(X, \Omega_X^1) \mid d\omega = 0, C\omega = 0\}$$

et

$$H^1(X, \mu_p) = \{\omega \in H^0(X, \Omega_X^1) \mid d\omega = 0, C\omega = \omega\}.$$

Preuve : Voir [16], proposition III.4.14. □

D'autre part, lorsque X est un schéma affine, on a une description explicite des toiseurs sous les groupes p -cycliques.

Théorème 21 *Soit X un schéma sur \mathbb{F}_p tel que $H^1(X, \mathcal{O}_X) = 0$ alors*

$$H^1(X, \alpha_p) = H^0(X, \mathbb{G}_a) / H^0(X, \mathbb{G}_a)^p.$$

En particulier, si $X = \text{Spec}(A)$ alors

$$H^1(X, \alpha_p) = A/A^p$$

et les α_p -torseurs au-dessus de X sont de la forme $\text{Spec}(B)$ avec $B = A[y]/(y^p - u)$, où u est un élément de A unique à addition par une puissance p -ième près. La forme différentielle associée est alors $\omega = du$.

Preuve : Voir [16], §III.4, *Infinitesimal coverings*, p. 128. \square

Théorème 22 Soit X un schéma sur \mathbb{F}_p tel que $\text{Pic}(X) = 0$. Alors

$$H^1(X, \mu_p) = H^0(X, \mathbb{G}_m)/H^0(X, \mathbb{G}_m)^p.$$

En particulier, si $X = \text{Spec}(A)$ est un schéma affine, alors

$$H^1(X, \mu_p) = \mathbb{G}_m(A)/\mathbb{G}_m(A)^p,$$

et les μ_p -torseurs au-dessus de X sont de la forme $\text{Spec}(B)$ avec $B = A[y]/(y^p - u)$ où u est une unité de A , unique à multiplication par la puissance p -ième d'une unité près. La forme différentielle associée est alors $\omega = \frac{du}{u}$.

Preuve : Voir [16], §III.4, *Kummer theory*, p. 125. \square

Remarque 23 Soient $X = \text{Spec}(A)$ un schéma affine sur \mathbb{F}_p et Y un μ_p -torseur au-dessus de X . Une représentation de Y sous la forme $\text{Spec}(A[w]/(w^p - u))$ étant choisie, on peut oublier la structure de μ_p -torseur et munir Y d'une structure (non canonique) de α_p -torseur au-dessus de X en considérant le morphisme $\alpha_p \times Y \rightarrow Y$ correspondant à l'homomorphisme défini par

$$\begin{array}{ccc} A[w]/(w^p - u) & \rightarrow & A[x]/(x^p) \otimes_A A[w]/(w^p - u) \\ w & \mapsto & x \otimes 1 + 1 \otimes w \end{array} \quad (3)$$

On vérifie sans peine que ceci définit une structure de α_p -torseur. Cette structure dépend du choix de u .

Remarque 24 Dans le cas des $\mathbb{Z}/p\mathbb{Z}$ -torseurs, on a un théorème analogue (cf. [16], §III.4). Les $\mathbb{Z}/p\mathbb{Z}$ -torseurs au-dessus d'un schéma affine $\text{Spec}(A)$ sur \mathbb{F}_p sont de la forme $\text{Spec}(B)$ avec $B = A[y]/(y^p - y - u)$ où u est un élément de A , unique à addition près par un élément de la forme $a^p - a$ avec $a \in A$.

Dans la suite, nous aurons besoin d'une forme "canonique" pour les toseurs au dessus du disque formel, ceci nous est fournit par la proposition suivante.

Proposition 25 Soient k un corps algébriquement clos de caractéristique $p > 0$, $A = k((x))$, B une extension de degré p de A telle que $\text{Spec } B$ soit un toseur sur $\text{Spec } A$ sous G . Alors il existe un générateur x' de $k[[x]]$, et un entier $m \in \mathbb{Z}$ tels que

- (1) $B = A[y]/(y^p - y - x'^{-m})$ avec $m > 0$ et $p \nmid m$ si G est étale. L'entier m est alors déterminé de façon unique.
- (2) $B = A[y]/(y^p - x'^{-m})$ avec $p \nmid m$ si $G \cong \alpha_p$. L'entier m est alors déterminé de façon unique.
- (3) $B = A[y]/(y^p - x'^{-m})$ avec $p \nmid m$ ou $B = A[y]/(y^p - (1 + x'Q))$ avec $Q \in k[[x']]$ si $G \cong \mu_p$.

Preuve : C'est une conséquence des théorèmes 22, 21 et de la remarque 24. \square

Définition 26 Avec les notations de la proposition précédente, l'entier m est appelé le *conducteur* de B sur A dans les cas (1) et (2).

3.2 Déformation de p -groupe cyclique en égale caractéristique p

On fixe un anneau de valuation discrète R d'égale caractéristique $p > 0$.

Le cas de μ_p n'est pas traité ici car on ne peut pas déformer μ_p en $\mathbb{Z}/p\mathbb{Z}$ en égale caractéristique p (ceci peut se voir en passant au dual de Cartier).

Soient $n \geq 0$ un entier et t une uniformisante de R . Considérons le morphisme de schémas en groupes au-dessus de $\text{Spec}(R)$:

$$\phi_n : \mathbb{G}_a \rightarrow \mathbb{G}_a$$

déduit de l'homomorphisme

$$\begin{aligned} \phi_n^\# : R[x] &\rightarrow R[x] \\ x &\mapsto x^p - t^{(p-1)n}x. \end{aligned}$$

Par convention, $t^0 = 1$. Notons \mathcal{M}^n le noyau de ϕ_n , on a

$$\mathcal{M}^n = \text{Spec} \left(R[w]/(w^p - t^{(p-1)n}w) \right). \quad (4)$$

On a alors une suite exacte pour la topologie fppf

$$0 \longrightarrow \mathcal{M}^n \longrightarrow \mathbb{G}_a \xrightarrow{\phi_n} \mathbb{G}_a \longrightarrow 0. \quad (5)$$

En effet, par définition de \mathcal{M}^n , il suffit de montrer que ϕ_n est surjective (pour la topologie fppf) et pour cela, il est suffisant de voir que \mathcal{M}^n est plat sur R (cf [16], exercice 2.19), ce qui découle de (4).

Si $n = 0$, \mathcal{M}^n est isomorphe à $\mathbb{Z}/p\mathbb{Z}$. Si $n > 0$, la fibre générique de \mathcal{M}^n est isomorphe à $\mathbb{Z}/p\mathbb{Z}$ et sa fibre spéciale à α_p .

Remarque 27 Si $n > 0$, la réduction de la suite (5) modulo t donne la suite sur k

$$0 \longrightarrow \alpha_p \longrightarrow \mathbb{G}_a \xrightarrow{x \mapsto x^p} \mathbb{G}_a \longrightarrow 0$$

dont l'exactitude est connue. Dans le cas $n = 0$, on retrouve la suite exacte d'Artin-Schreier.

Proposition 28 Soient X un schéma de type fini sur $\text{Spec}(R)$ et $n \geq 0$. On suppose que $H_{Zar}^1(X_s, \mathcal{O}_{X_s}) = 0$ et que le morphisme $H_{Zar}^0(X, \mathcal{O}_X) \rightarrow H_{Zar}^0(X_s, \mathcal{O}_{X_s})$ est surjectif. Alors tout \mathcal{M}_s^n torseur sur X_s se relève en un \mathcal{M}^n -torseur sur X .

Preuve : Il suffit de montrer que le morphisme de spécialisation

$$H^1(X, \mathcal{M}^n) \rightarrow H^1(X_s, \mathcal{M}_s^n)$$

est surjectif. Pour cela, considérons la suite exacte (5). On a un diagramme commutatif à lignes exactes donné par la suite exacte longue de cohomologie (fppf) :

$$\begin{array}{ccccc} H^0(X, \mathbb{G}_a) & \longrightarrow & H^1(X, \mathcal{M}^n) & \longrightarrow & H^1(X, \mathbb{G}_a) \\ \downarrow & & \downarrow & & \downarrow \\ H^0(X_s, \mathbb{G}_a) & \longrightarrow & H^1(X_s, \mathcal{M}_s^n) & \longrightarrow & H^1(X_s, \mathbb{G}_a). \end{array}$$

Pour tout $i \geq 0$ et tout schéma Y on a ([16], proposition III.3.7)

$$H_{fppf}^i(Y, \mathbb{G}_a) = H_{fppf}^i(Y, \mathcal{O}_Y) = H_{Zar}^i(Y, \mathcal{O}_Y).$$

Les hypothèses sur X montrent qu'on a un diagramme commutatif

$$\begin{array}{ccc} H^0(X, \mathbb{G}_a) & \longrightarrow & H^1(X, \mathcal{M}^n) \\ \downarrow & & \downarrow \\ H^0(X_s, \mathbb{G}_a) & \longrightarrow & H^1(X_s, \mathcal{M}_s^n). \end{array}$$

Ce qui prouve que le morphisme $H^1(X, \mathcal{M}^n) \rightarrow H^1(X_s, \mathcal{M}_s^n)$ est surjectif. \square

Corollaire 29 Si X est affine, alors tout \mathcal{M}_s^n -torseur sur X_s se relève en un \mathcal{M}^n -torseur sur X .

Remarque 30 Si $X = \text{Spec}(A)$ est affine, la suite exacte (5) montre que

$$H^1(X, \mathcal{M}^n) = A/\phi_n(A)$$

avec $\phi_n : a \mapsto a^p - t^{(p-1)n}a$. Par suite, les \mathcal{M}^n -torseurs au dessus de X sont affines de la forme

$$\text{Spec}(A[w]/(w^p - t^{(p-1)n}w - a))$$

où a est un élément de A unique à l'addition d'un élément de $\phi_n(A)$ près. En particulier, étant donné le théorème 21 et la remarque 24, on voit que pour relever des \mathcal{M}^n -torseurs au-dessus d'un schéma affine, il suffit de relever une équation.

3.3 Revêtement p -admissible et courbes hyperelliptiques

Définition 31 Nous appelons courbe *courbe semi-stable* sur un corps algébriquement clos k une courbe connexe, propre, réduite de dimension 1 sur $\text{Spec}(k)$ dont les composantes irréductibles sont lisses et dont les points singuliers sont doubles ordinaires.

Soit C une courbe semi-stable sur un corps algébriquement clos, on lui associe un graphe appelé *graphe d'intersection de C* dont les sommets sont les composantes irréductibles de C et les arêtes sont les points doubles, deux sommets étant reliés par les arêtes correspondant aux points doubles de l'intersection des deux composantes. La plupart des graphes considérés seront orientés, cette orientation étant fixée arbitrairement.

Pour toute variété algébrique V sur k , on note V_{lisse} l'ouvert de lissité de V . Soit Y une courbe semi-stable sur k . On note Γ_Y le graphe d'intersection de Y . Pour tout sommet v de Γ_Y , on note F_v la composante irréductible de Y correspondante v et $F_v^0 := F_v \cap Y_{\text{lisse}}$.

Définition 32 Soit k un corps algébriquement clos de caractéristique $p > 0$. Soit $f : Y \rightarrow X$ un morphisme fini de courbes projectives lisses sur k . Soit U un ouvert affine de X tel que $f^{-1}(U) \rightarrow U$ soit un toreur sous un des groupes algébriques $G = \mathbb{Z}/p\mathbb{Z}$, α_p et μ_p sur k . La structure du toreur est induit par un élément $u \in \mathcal{O}_X(U)$ à la manière des théorèmes 21, 22 et de la remarque 24. Soit $P \in Y$ un point ramifié de f . Nous allons lui associer des entiers $m(P)$ (*conducteur*) et $h(P)$ (*résidu*). Notons $Q = f(P)$. Si $G = \mathbb{Z}/p\mathbb{Z}$, on pose $m(P)$ égal au conducteur de Hasse de l'extension $\mathcal{O}_{X,Q} \rightarrow \mathcal{O}_{Y,P}$, et $h(P) = 0$. Si $G = \alpha_p$, on pose

$$m(P) = -(1 + \text{Ord}_Q du), \quad h(P) = 0.$$

Enfin, si $G = \mu_p$ (donc $u \in \mathcal{O}_X(U)^*$), on pose

$$m(P) = -(1 + \text{Ord}_Q du/u), \quad h(P) = \text{Res}_Q du/u.$$

Ces entiers ne dépendent pas du choix de u , mais uniquement de la structure de toreur au-dessus de U .

Lemme 33 *Conservons les notations ci-dessus.*

- (a) Si $G = \alpha_p$ ou $\mathbb{Z}/p\mathbb{Z}$, alors $m(P) \neq 0$.
- (b) Si $G = \mu_p$, alors $m(P) = 0$ si et seulement si $n := \text{Ord}_P u$ est premier à p , et on a alors $h(P) = n$ (dans k).
- (c) Supposons $G = \mu_p$ et $X = \mathbb{P}_k^1$. Alors quitte à multiplier u par une puissance p -ième dans $\mathcal{O}_X(U)^*$ (ce qui ne change pas la structure de toreur), on a $u \in \mathcal{O}_{X,f(P)}^*$ pour tout $P \in Y$ tel que $m(P) \neq 0$.

Preuve. (a)–(b) Si G est étale, on a $m(P) > 0$ par la définition du conducteur de Hasse. Dans le cas G radiciel, les propriétés se vérifient aisément en écrivant u sous la forme $u = \pi^n u_0$ avec π un paramètre local de X en Q et $u_0 \in \mathcal{O}_{X,Q}^*$.

(c) On a $(u) = pD_1 + D_0$ où les D_i sont des diviseurs sur X , et D_0 est à coefficients premiers à p . Soit Q_0 un point du support de D_0 (qui est non vide car u serait une puissance p -ième sinon). Alors il existe $w \in k(X)$ tel que $(w) = D_1 - (\deg D_1)Q_0$. Il suit que $w \in \mathcal{O}_X(U)^*$ et que (u/w^p) est un diviseur dont les coefficients (non nuls) sont premiers à p . Si $m(P) \neq 0$, alors $\text{Ord}_P(u/w^p)$ est divisible par p , donc nul. \square

Définition 34 Soit k un corps algébriquement clos de caractéristique $p > 0$. Un revêtement p -admissible de courbes semi-stables consiste en la donnée de :

- (1) un morphisme fini surjectif $f : Y \rightarrow X$ de courbes semi-stables sur k ;
- (2) une application qui à chaque sommet v de Γ_Y associe un couple (G_v, u_v) , où G_v est l'un des groupes algébriques $\mathbb{Z}/p\mathbb{Z}$, α_p et μ_p sur k , et où u_v est une fonction rationnelle sur $f(F_v^0)$.

Ces données doivent vérifier les propriétés suivantes :

- (a) $f^{-1}(X_{\text{lisse}}) = Y_{\text{lisse}}$;
- (b) pour tout sommet v de Γ_Y , il existe un ouvert non vide $U_v \subset f(F_v^0)$ tel que $f^{-1}(U_v) \rightarrow U_v$ soit un toreur sous G_v , défini par u_v à la manière des théorèmes 21, 22 et de la remarque 24 ($u_v = 0$ si $f^{-1}(U_v)$ n'est pas connexe). En particulier, $f^{-1}(f(F_v)) \rightarrow f(F_v)$ est un morphisme fini de degré p . On dira que v est *étale* (resp. *radiciel*) si G_v est étale (resp. radiciel).
- (c) Soit a une arête (orientée) de Γ_Y correspondant à un point d'intersection P . Supposons que $f^{-1}(f(P)) = \{P\}$. On dira que a est une *arête ramifiée*. Alors on demande que l'une des extrémités de a soit radicielle. Soit v le sommet d'origine de a . Posons $m(a) = m(P)$ et $h(a) = h(P)$. Alors on impose la *condition de compatibilité* :

$$m(a) = -m(\bar{a}), \quad h(a) = -h(\bar{a}),$$

où \bar{a} est l'arête opposée de a .

On notera un revêtement p -admissible par $(f : Y \rightarrow X, \{(G_v, u_v)\}_v)$. On dira que $(f : Y \rightarrow X, \{(G_v, u'_v)\}_v)$ est *équivalent* à $(f : Y \rightarrow X, \{(G_v, u_v)\}_v)$ si u_v et u'_v induisent la même structure de toreur au-dessus de $U_v \subset f(F_v^0)$.

Dans toute la suite, on prendra pour U_v le plus grand ouvert de $f(F_v^0)$ tel que $f^{-1}(U_v) \rightarrow U_v$ soit un toreur sous G_v défini par u_v .

Définition 35 ([4], §4) Soient k' un corps algébriquement clos de caractéristique **différente** de p , Y et X deux courbes semi-stables sur k' et $f : Y \rightarrow X$ un morphisme fini. On dit que f est un *revêtement p -admissible* si les conditions suivantes sont réalisées :

- il existe une action de $\mathbb{Z}/p\mathbb{Z}$ sur Y libre sur un ouvert dense telle que f s'identifie au morphisme quotient $Y \rightarrow Y/(\mathbb{Z}/p\mathbb{Z})$.
- soit P un point fixe de Y sous l'action de $\mathbb{Z}/p\mathbb{Z}$, alors l'action de $\mathbb{Z}/p\mathbb{Z}$ sur $\mathcal{O}_{Y,P}$ est kummerienne (c'est à dire que si on note χ_1 et χ_2 les caractères $\mathbb{Z}/p\mathbb{Z} \rightarrow k^*$ déduits de l'action de $\mathbb{Z}/p\mathbb{Z}$ sur chaque branche de Y en P , on a $\chi_1\chi_2 = 1$).

Définition 36 Soient k un corps et $C \rightarrow \text{Spec}(k)$ une courbe stable de genre arithmétique $g \geq 2$. On dira que C est *hyperelliptique* s'il existe un anneau de valuation discrète R_1 dont le corps résiduel est une extension finie k_1 de k , une courbe $\mathcal{C} \rightarrow \text{Spec } R_1$ stable dont la fibre générique est lisse et hyperelliptique, et dont la fibre spéciale est isomorphe à C_{k_1} .

Remarque 37 Soient k un corps, $C \rightarrow \text{Spec}(k)$ une courbe lisse hyperelliptique de genre $g \geq 2$, alors C est hyperelliptique au sens habituel.

Proposition 38 *Supposons que K est de caractéristique zéro. Soit $\mathcal{C} \rightarrow \text{Spec}(R)$ une courbe stable dont la fibre générique est lisse et munie d'une action non triviale d'un groupe G p -cyclique. Alors après extension finie de R , il existe un éclatement $\tilde{\mathcal{C}} \rightarrow \mathcal{C}$ et, si car $k = p$, des données $\{(G_v, u_v)\}_{v \in \Gamma_{\mathcal{C}_s}}$ tels que $\tilde{\mathcal{C}}_s \rightarrow (\tilde{\mathcal{C}}/G)_s$ (resp. $(\tilde{\mathcal{C}}_s \rightarrow (\tilde{\mathcal{C}}/G)_s, \{(G_v, u_v)\}_{v \in \Gamma_{\mathcal{C}_s}})$) soit un revêtement p -admissible d'une courbe semi-stable si car $k \neq p$ (resp. car $k = p$).*

Preuve : On peut supposer k algébriquement clos. Supposons dans un premier temps que k est de caractéristique différente de p . Quitte à faire une extension de R , on peut supposer que les épaisseurs des points singuliers sont paires. Notons $\tilde{\mathcal{C}}$ la courbe obtenue de \mathcal{C} en éclatant les points P de la fibre spéciale pour lesquels G ne laisse pas fixe les branches analytique en P . Par suite, [20] Théorème 5.7 montre que $\tilde{\mathcal{C}}_s \rightarrow (\tilde{\mathcal{C}}/G)_s$ est p -admissible.

Supposons désormais que k est de caractéristique p . Quitte à augmenter K , on peut supposer que tout les points fixes de \mathcal{C}_η sous G sont rationnels. Considérons le modèle minimal $\tilde{\mathcal{C}}$ de \mathcal{C} déployant les spécialisations des points de la fibre générique fixes sous G en des points lisses et distincts. Par unicité du modèle minimal $\tilde{\mathcal{C}}$, l'action de G se prolonge à $\tilde{\mathcal{C}}$. Quitte à faire une extension ramifiée de l'anneau R , on peut supposer les épaisseurs des points doubles paires. Soit $P \in \tilde{\mathcal{C}}_s$ un point singulier fixe sous G et tel que G permute les branches analytiques en P . Soit $f_1 : \tilde{\mathcal{C}}_1 \rightarrow \tilde{\mathcal{C}}$ l'éclatement de $\tilde{\mathcal{C}}$ en P . Alors G opère sur $\tilde{\mathcal{C}}_1$ et les points singuliers de $\tilde{\mathcal{C}}_{1,s}$ contenus dans $f_1^{-1}(P)$ ne sont pas fixes par G . On peut donc supposer que G ne permute les branches analytiques en aucun point de $\tilde{\mathcal{C}}$. Soient C_1 et C_2 deux composantes étales de $\tilde{\mathcal{C}}_s$ et $P \in C_1 \cap C_2$. Soit $f_2 : \tilde{\mathcal{C}}_2 \rightarrow \tilde{\mathcal{C}}$ l'éclatement de $\tilde{\mathcal{C}}$ en P . Alors G agit sur $\tilde{\mathcal{C}}_2$ et l'intersection des transformées strictes de C_1 et C_2 dans $\tilde{\mathcal{C}}_2$ ne contient aucun point de $f_2^{-1}(P)$. On peut donc supposer qu'aucun point fixe de $\tilde{\mathcal{C}}_s$ n'est intersection de deux composantes étales.

Pour chaque sommet v de $\Gamma_{\mathcal{C}_s}$, la réduction de l'action de G induit une structure de G_v -torseur (G_v est isomorphe à α_p , μ_p ou $\mathbb{Z}/p\mathbb{Z}$) sur un ouvert dense de la composante correspondant à v (d'après l'étude faite dans dans [6], Proposition 1.6 sur la réduction des μ_p -torseur) et on peut donc lui associer u_v à la manière des théorèmes 21, 22 et de la remarque 24. Nous allons montrer que les données $(\tilde{\mathcal{C}}_s \rightarrow (\tilde{\mathcal{C}}/G)_s, \{(G_v, u_v)\})$ définissent un revêtement p -admissible, c'est à dire que les conditions (a), (b) et (c) de la définition 34 sont satisfaites :

- (a) Comme G n'échange pas les branches d'un point singulier, l'image réciproque du lieu lisse de $(\tilde{\mathcal{C}}/G)_s$ est le lieu lisse de $\tilde{\mathcal{C}}_s$.
- (b) Le fait que f soit un G_v -torseurs en restriction à un ouvert non vide de chaque composante (correspondant à v) du lieu lisse provient de la construction.
- (c) Les compatibilités au niveau des conducteurs et des résidus proviennent de [6], Proposition 3.1. \square

4 Un théorème de relèvement en égale caractéristique

On démontre dans cette section un théorème de relèvement des revêtements p -admissibles en égale caractéristique p (Théorème 41). Pour cela, on commence par donner quelques résultats sur le relèvement des $\mathbb{Z}/p\mathbb{Z}$ et α_p -torseurs en égale caractéristique.

4.1 Graphe de Hurwitz

Cette notion est tirée de [6], définition 2.1. Nous étendons toutefois la notion au cas où $\text{car}K = p$. On prendra pour convention $\nu(p) = \infty$ si K est un corps de caractéristique p .

Soit Γ un graphe orienté, nous noterons $\mathbf{Som}\Gamma$ (resp. $\mathbf{Ar}\Gamma$, resp. $\mathbf{Ar}^+\Gamma$) l'ensemble des sommets (resp. des arêtes orientées, resp. des arêtes positives) de Γ . Si G est un groupe abstrait fini agissant sur Γ , on désignera par $\mathbf{Som}^G\Gamma$ (resp. $\mathbf{Ar}^G\Gamma$) l'ensemble des sommets (resp. des arêtes orientées) de Γ fixes sous l'action de G . Si v est un sommet de Γ fixe sous G , $\mathbf{Ar}^+(s)$ sera l'ensemble des arêtes orientées fixe sous G et ayant pour origine s .

Soit G un groupe p -cyclique agissant sans inversion (c'est à dire que pour toute arête a et pour tout $\tau \in G$ on a $\tau a \neq \bar{a}$) sur Γ . Considérons la donnée $\mathcal{H} = (\varepsilon, g, d, m, h)$, où :

- $\varepsilon : \mathbf{Ar}\Gamma \rightarrow \mathbb{N}$ est une application dans l'ensemble des entiers ≥ 0 . Si v est un sommet, $\varepsilon(v)$ sera appelé l'*épaisseur* de s .
- $g : \mathbf{Som}\Gamma \rightarrow \mathbb{N}$ est une application. Si v est un sommet, on appellera $g(v)$ le *genre* de v .

- $d : \mathbf{Som}\Gamma \rightarrow (p-1)\mathbb{N} \cap [0, \nu(p)]$ est une application ; pour un sommet v fixé, l'entier $d(v)$ sera appelé sa *différente*.
- $m : \mathbf{Ar}^G\Gamma \rightarrow \mathbb{Z}$ est une application ; pour une arête orientée a fixe par G , l'entier $m(a)$ sera appelé *conducteur* de a .
- $h : \mathbf{Ar}^G\Gamma \rightarrow \mathbb{Z}/p\mathbb{Z}$ est une application ; pour une arête orientée a fixe par G , l'entier $h(a)$ sera appelé *résidu* de l'arête.

Un sommet v est dit *additif* si $\nu(p) > d(v) > 0$, *étale* si $d(v) = 0$ et, si K est de caractéristique différente de p , on dira que v est *multiplicatif* si $d(v) = \nu(p)$. La donnée \mathcal{H} est appelée *K-donnée de Hurwitz* sur Γ , relativement à l'action de G , si de plus les conditions suivantes sont satisfaites :

- L'action de G est compatible avec l'épaisseur, le genre et la différentielle, c'est-à-dire que pour tout τ dans G , pour tout sommet v et toute arête a on a $\varepsilon(\tau.a) = \varepsilon(a)$, $g(\tau.v) = g(v)$ et $d(\tau.v) = d(v)$.
- Pour toute arête a fixe par G , si $m(a)$ est non nul alors $m(a)$ est premier à p .
- Pour tout sommet v étale fixe par G et pour toute arête orientée a d'origine v fixe par G , on a $m(a) > 0$ et il existe un entier $g'(v) \geq 0$ tel que $2g(v) - 2 = p(2g'(v) - 2) + \sum_{a \in \mathbf{Ar}^G(v)} (m(a) + 1)(p - 1)$ (“formule de Hurwitz”)
- Pour tout sommet v radiciel, on a les relations
$$\sum_{a \in \mathbf{Ar}^G(v)} (m(a) + 1) = 2 - 2g(v) \quad (\text{“degré du diviseur canonique”})$$

$$\sum_{a \in \mathbf{Ar}^G(v)} h(a) = 0 \quad (\text{“théorème des résidus”})$$
- Pour toute arête a fixe par G , on a $m(\bar{a}) = -m(a)$, $h(\bar{a}) = -h(a)$ et $d(t(a)) - d(o(a)) = m(a)\varepsilon(a)(p - 1)$ (“loi de variation de la différentielle”)

Exemple 39 Soit R un anneau de valuation discrète complet d'inégale caractéristique $(0, p)$. La donnée d'une courbe $\pi : \mathcal{C} \rightarrow \text{Spec}(R)$ stable dont la fibre générique est lisse, d'une action d'un groupe p -cyclique G sur \mathcal{C} fournit naturellement un graphe de Hurwitz. En effet, notons $\tilde{\mathcal{C}}$ le modèle minimal déployant en des points lisses distincts les spécialisations des points de la fibre générique de \mathcal{C} qui sont fixe sous G . Notons Γ le graphe dont l'ensemble des sommets est composé des composantes irréductibles de $\tilde{\mathcal{C}}_s$ et des points fixes de \mathcal{C}_η . Deux sommets v et w sont reliés par une arêtes lorsque

- v et w correspondent à deux composantes irréductibles de $\tilde{\mathcal{C}}_s$ qui se coupe en un point, il y a alors autant d'arêtes joignant v et w que de points d'intersection entre ces deux composantes.
- v correspond à une composante de $\tilde{\mathcal{C}}_s$ et w à un point de $\tilde{\mathcal{C}}_\eta$ se spécialisant sur cette composante.

Pour plus de détail, voir [6], Proposition 3.1. Nous nous contentons ici d'illustrer ce fait général par un exemple. Supposons que \mathcal{C} soit une courbe hyperelliptique telle que $\tilde{\mathcal{C}}_s$ soit donnée par la figure 1.

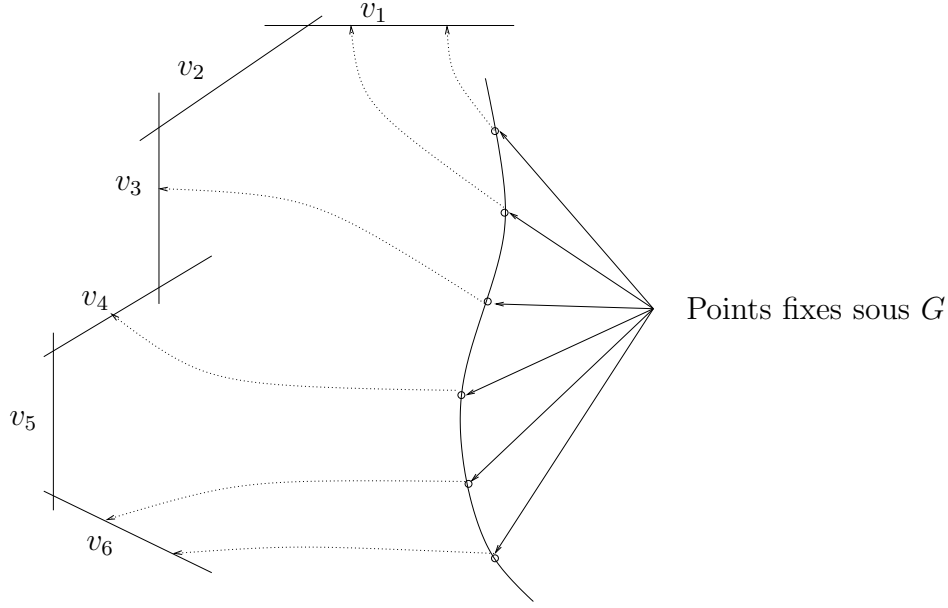
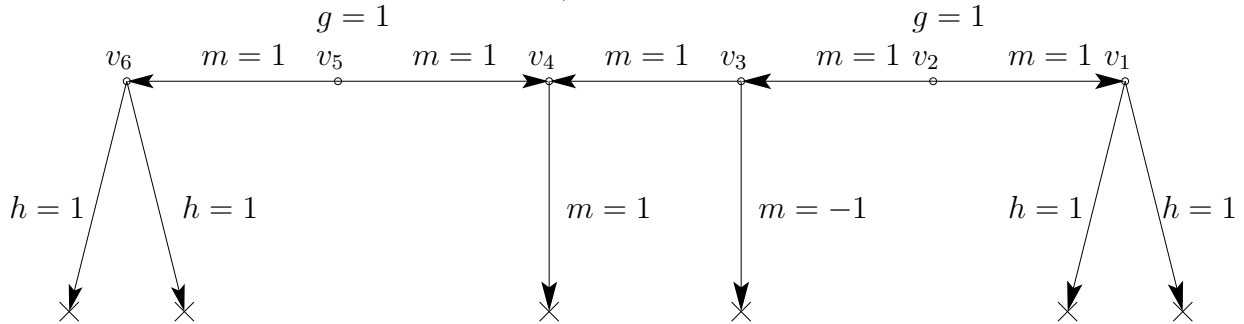


FIG. 1: Fibre spéciale de $\tilde{\mathcal{C}}$ et spécialisation des points fixes

Notons Γ le graphe obtenu comme précédemment. Pour chaque sommet v_i du graphe de Γ correspondant à une composante irréductible de $\tilde{\mathcal{C}}_s$, la proposition 1.6 de [6], il existe un ouvert non vide de $F_{v_i}^0$ naturellement muni d'une structure de α_2, μ_2 où $\mathbb{Z}/2\mathbb{Z}$ -torseur (en fonction de la valuation de la différentielle). De plus, on peut associer à v_i le genre de la composante correspondante et la différentielle de l'anneau local de son point générique (dans \mathcal{C}). Pour chaque sommet v_i correspondant à un point fixe sous G se spécialisant dans une composant v , le genre et la différentielle sont fixés à zéro. Pour chaque arête a de $\Gamma_{\mathcal{C}_s}$, on peut donc associer un conducteur et un résidu (comme dans la définition 33), une épaisseur (l'épaisseur du point double correspondant dans \mathcal{C}).

L'exemple suivant est alors un arbre de Hurwitz (les sommets provenant de composantes irréductibles sont représentés par des points et les sommets provenant de point fixe par des croix).



4.2 Énoncé du théorème de réalisation

Dans toute cette section, on supposera que les schémas en groupes intervenant dans la définition des revêtements p -admissibles sont isomorphes soit à $\mathbb{Z}/p\mathbb{Z}$, soit à α_p . Cette hypothèse supplémentaire sera justifiée lors de la démonstration du théorème 49. On suppose de plus dans cette section que car $K = p$.

Définition 40 Soient R un anneau de valuation discrète complet d'égale caractéristique p , \mathcal{X} une courbe formelle semi-stable sur R (c'est à dire que la fibre spéciale de \mathcal{X} est semi-stable), de fibre spéciale \mathcal{X}_s et $(f_s : \mathcal{Y}_s \rightarrow \mathcal{X}_s, \{(G_v, u_v)\}_v)$ un revêtement p -admissible. Un graphe de Hurwitz Γ sera dit *adapté* à \mathcal{X} et au revêtement p -admissible $(f_s, \{(G_v, u_v)\}_v)$ si

- l'ensemble des sommets de Γ est composé des sommets de $\Gamma_{\mathcal{Y}_s}$ et des points réguliers de \mathcal{Y}_s en lesquels f_s n'est pas un torseur (i.e. les points de $F_v^0 \setminus f^{-1}(U_v)$).
- le genre des sommets de Γ correspondant à une composante irréductible de \mathcal{Y}_s est égal au genre de cette composante, et nul sinon.
- l'ensemble des arêtes de Γ est composé des arêtes de $\Gamma_{\mathcal{Y}_s}$ et des couples (v, P) où v est une composantes irréductibles de \mathcal{Y}_s , P est un point de F_v^0 en lequel f_s n'est pas un torseur.
- les conducteurs et résidus en les arêtes de Γ sont égaux aux conducteurs et résidus en les points de \mathcal{Y}_s (comme dans la définition 32) correspondant.
- pour toute arête a de Γ correspondant à un point singulier P de \mathcal{Y}_s , $p\varepsilon(a)$ est égal à l'épaisseur de $f_s(P)$ dans \mathcal{X} (en particulier, cela impose que les épaisseurs des points singuliers de \mathcal{X}_s soient multiples de p).

Théorème 41 Soient G un groupe p -cyclique abstrait, R un anneau de valuation discrète complet, \mathcal{X} une courbe formelle semi-stable sur R , de fibre spéciale \mathcal{X}_s et $(f_s : \mathcal{Y}_s \rightarrow \mathcal{X}_s, \{(G_v, u_v)\}_v)$ un revêtement p -admissible tel que f_s ne soit pas un homéomorphisme. On fait les hypothèses suivantes :

(H₁) pour tout v , $G_v = \mathbb{Z}/p\mathbb{Z}$ ou α_p .

(H₂) soient v un sommet de $\Gamma_{\mathcal{Y}_s}$ et P un point de F_v^0 en lequel f_s n'est pas un torseur, alors $G_v \cong \alpha_p$ et l'ordre de u_v en P est de la forme $1 - pn$ avec $n \geq 0$.

Si Γ est un graphe de Hurwitz adapté à $(\mathcal{X}, (f_s, \{(G_v, u_v)\}_v))$ alors il existe une courbe formelle semi-stable \mathcal{Y} sur R munie d'une action de G et un R isomorphisme $\mathcal{Y}/G \rightarrow \mathcal{X}$ tel que la fibre spéciale du morphisme $\mathcal{Y} \rightarrow \mathcal{X}$ s'identifie à f_s .

Remarque 42 Ce théorème est un analogue en égale caractéristique de certains résultats de [6] et de [21], [22], [23] en inégale caractéristique.

Corollaire 43 Soient Y et X deux courbes semi-stables sur $\text{Spec}(k)$ et $(f : Y \rightarrow X, \{(G_v, u_v)\}_v)$ un revêtement p -admissible comme dans le théorème 41. Soient \mathcal{X} un relèvement de X sur $\text{Spec } R$ dont les épaisseurs en chaque point singulier est un multiple de p et Γ un graphe de Hurwitz adapté à \mathcal{X} et à $(f, \{(G_v, u_v)\})$. Alors il existe une courbe semi-stable \mathcal{Y} sur $\text{Spec}(R)$ et un revêtement p -cyclique $f' : \mathcal{Y} \rightarrow \mathcal{X}$ tels que la fibre générique de ce morphisme soit un revêtement galoisien de degré p entre deux courbes lisses, et que $f'_s = f$.

Preuve : Il suffit d'algébriser les données du théorème, ce qui est possible par le théorème d'agénérisation [3], Corollaire III.5.1.6. \square

Pour la démonstration de ce théorème, on aura besoin d'un théorème de recollement formel que nous rappelons ci-dessous.

Soit \mathcal{X} une courbe formelle semi-stable sur R , de fibre générique lisse et géométriquement connexe. Soient x_1, \dots, x_n des points fermés lisses de la fibre spéciale de \mathcal{X} avec $x_i \in F_{v_i}^0$. On note Γ le graphe orienté d'intersection de \mathcal{X} . Pour tout sommet v de Γ , on notera \mathcal{X}_v un ouvert formel de \mathcal{X} dont la fibre spéciale s'identifie à $F_v^0 \setminus \{x_1, \dots, x_n\}$. Pour tout $i \in \{1, \dots, n\}$, on notera $\mathcal{X}_i = \text{Spf} \widehat{\mathcal{O}_{\mathcal{X}, x_i}}$ et si η_i est le point générique de F_{v_i} , on notera $\alpha_i : \text{Spf}(\widehat{\mathcal{O}_{\mathcal{X}, x_i}})_{\eta_i} \rightarrow \mathcal{X}_i$ et $\beta_i : \text{Spf}(\widehat{\mathcal{O}_{\mathcal{X}, x_i}})_{\eta_i} \rightarrow \mathcal{X}_{v_i}$. Pour toute arête a de Γ correspondant à un point double P , on notera \mathcal{X}_a la couronne formelle $\text{Spf} \widehat{\mathcal{O}_{\mathcal{X}, P}}$ et $\mathcal{X}_a^\circ = \text{Spf}(\widehat{\mathcal{O}_{\mathcal{X}, P}})_{\eta_{a,o}}$, où $\eta_{a,o}$ est le point générique de \mathcal{X}_a correspondant au bord origine. Pour toute arête a de Γ , on dispose alors des morphismes canoniques $\alpha_a : \mathcal{X}_a^\circ \rightarrow \mathcal{X}_a$ et $\beta_a : \mathcal{X}_a^\circ \rightarrow \mathcal{X}_{o(a)}$. On note $\Delta\mathcal{X}$ le schéma formel

$$\left(\coprod_{i \in \{1, \dots, n\}} \mathcal{X}_i \right) \amalg \left(\coprod_{v \in \text{Som}(\Gamma)} \mathcal{X}_v \right) \amalg \left(\coprod_{a \in \text{Ar}(\Gamma)} \mathcal{X}_a \right)$$

et q la projection naturelle $q : \Delta\mathcal{X} \rightarrow \mathcal{X}$.

Soit \mathcal{F} un module cohérent sur \mathcal{X} . Si v est un sommet (resp. a est une arête, resp. $i \in \{1, \dots, n\}$) de Γ , on note \mathcal{F}_v (resp. \mathcal{F}_a , resp. \mathcal{F}_i) la restriction de \mathcal{F} à \mathcal{X}_v (resp. \mathcal{X}_a , resp. \mathcal{X}_i). Autrement dit $q^*\mathcal{F} = ((\mathcal{F}_v), (\mathcal{F}_a), (\mathcal{F}_i))$. Pour tout $i \in \{1, \dots, n\}$, on a alors des isomorphismes $\phi_i(\mathcal{F}) : \alpha_i^*\mathcal{F}_i \rightarrow \beta_i^*\mathcal{F}_{v_i}$. Pour toute arête a de Γ , on a alors un isomorphisme naturel $\phi_a(\mathcal{F}) : \alpha_a^*\mathcal{F}_a \rightarrow \beta_a^*\mathcal{F}_{o(a)}$. Plus généralement, si $\Delta\mathcal{F} = ((\mathcal{F}_v), (\mathcal{F}_a), (\mathcal{F}_i))$ est un module cohérent sur $\Delta\mathcal{X}$, on appelle donnée de descente sur $\Delta\mathcal{F}$ une collection d'isomorphismes $\phi_a : \alpha_a^*\mathcal{F}_a \rightarrow \beta_a^*\mathcal{F}_{o(a)}$ et $\phi_i : \alpha_i^*\mathcal{F}_i \rightarrow \beta_i^*\mathcal{F}_{v_i}$. Les modules cohérents munis d'une donnée de descente forment une catégorie notée $(\Delta\text{Coh}_{\mathcal{X}})$.

Proposition 44 *Le foncteur $q^* : (\text{Coh}_{\mathcal{X}}) \rightarrow (\Delta\text{Coh}_{\mathcal{X}})$ est une équivalence de catégories. Soit G un groupe fini, on a le même résultat en remplaçant la catégorie des modules cohérents par celle des G -algèbres cohérentes galoisiennes (c'est à dire des $\mathcal{O}_{\mathcal{X}}$ -algèbre \mathcal{A} munie d'une action de G et telle que $\mathcal{A}^G = \mathcal{O}_{\mathcal{X}}$).*

Preuve : Voir [19], Theorem 3.4. □

4.3 Relèvement des points isolés

On suppose ici ue R est un anneau de valuation discrète complet tel que $\text{car } K \geq 0$. Considérons un carré cocartésien

$$\begin{array}{ccc} \frac{k[[x,y]]}{(xy)} & \longrightarrow & k((x)) \times k((y)) \\ \bar{\phi} \uparrow & & \uparrow \bar{\phi}_o \times \bar{\phi}_t \\ \frac{k[[x',y']]}{(x'y')} & \longrightarrow & k((x')) \times k((y')) \end{array} \quad (6)$$

où $\bar{\phi}$, $\bar{\phi}_o$ et $\bar{\phi}_t$ sont des morphismes de degré p . On suppose de plus que $\text{Spec}(\bar{\phi}_o)$ (resp. $\text{Spec}(\bar{\phi}_t)$) est un torseur sous un schéma en groupe G_o (resp. G_t) de degré p , isomorphe à $\mathbb{Z}/p\mathbb{Z}$ ou à α_p . Il lui correspond donc un conducteur m_o (resp. m_t) premier à p (non nul car G_o et G_t ne sont pas isomorphes à μ_p) et un résidu h_o (resp. h_t). On dira qu'un tel carré cocartésien est p -admissible si on a de plus $m_o = -m_t$, $h_o = -h_t$.

Soit G un groupe abstrait p -cyclique. Étant donné un revêtement p -admissible d'un point double comme dans (6) et un entier $e > 0$, une R -déformation d'épaisseur e est la donnée d'une action de G sur $R[[x, y]]/(xy - t^e)$, d'une injection ϕ de $R[[x', y']]/(x'y' - t^{pe})$ dans $R[[x, y]]/(xy - t^e)$ d'image $(R[[x, y]]/(xy - t^e))^G$ et d'un isomorphisme de la fibre spéciale du carré cocartésien

$$\begin{array}{ccc} \frac{R[[x,y]]}{(xy-t^e)} & \longrightarrow & R[[x]]\{x^{-1}\} \times R[[y]]\{y^{-1}\} \\ \phi \uparrow & & \uparrow \phi_o \times \phi_t \\ \frac{R[[x',y']]}{(x'y'-t^{pe})} & \longrightarrow & R[[x']]\{x'^{-1}\} \times R[[y']]\{y'^{-1}\} \end{array}$$

avec (6) (avec les notations de la section précédente, $\mathcal{X}_a^o \cong \text{Spec } R[[x]]\{x^{-1}\}$).

Proposition 45 *Soit K un corps complet de caractéristique $p > 0$. Soient $m_o > 0$, $e > 0$, $d_o \geq 0$ des entiers, posons $d_t = d_o + em_o(p-1)$, t une uniformisante de K et $\pi = t^{pe}$. Soit C la courbe projective lisse définie par l'équation $V^p - t^{d_t}V + T^{m_t} = 0$. Soit \mathcal{P} le modèle*

$$\text{Spec } R\left[\frac{1}{T}\right] \cup \text{Spec } R\left[\frac{\pi}{T}, T\right] \cup \text{Spec } R\left[\frac{T}{\pi}\right].$$

Considérons $f : \mathcal{C} \rightarrow \mathcal{P}$ la normalisation de \mathcal{P} dans C , et q_0 le point d'intersection de \mathcal{P}_s . Alors $f^{-1}(q_0)$ est un point double ordinaire.

Preuve : Soient $W_o = f^{-1}(\text{Spec } R[\frac{T}{\pi}])$ et $W_t = f^{-1}(\text{Spec } R[\frac{1}{T}, T])$. Alors $W_o \cup W_t$ contient un ouvert dense de \mathcal{C}_s . Considérons les R -algèbres intègres $A_o = R[\frac{T}{\pi}, U]/(U^p - t^{d_o}U + (\frac{T}{\pi})^{m_o})$ et $A_t = R[T, \frac{1}{T}, V]/(V^p - t^{d_t}V + T^{-m_o})$. On peut les identifier à des sous algèbres de $K(C)$ en posant $U = \frac{V}{\pi^{m_o}}$ et on a alors $\text{Frac}(A_o) = \text{Frac}(A_t) = K(C)$.

De plus, $\text{Spec } A_o$ et $\text{Spec } A_t$ sont à fibres génériques normales et à fibre spéciales réduites, ce sont donc des schémas normaux. Comme ils sont finis respectivement sur $\text{Spec } R[\frac{T}{\pi}]$ et $\text{Spec } R[\frac{1}{T}, T]$, on a $W_o = \text{Spec } A_o$ et $W_t = \text{Spec } A_t$. Le schéma \mathcal{C} est de Cohen-Macaulay, donc \mathcal{C}_s vérifie la condition (S_1) (cf. [13], Exercice 8.2.11) et est donc réduite (cf. [13], Proposition 7.1.15), réunion de deux composantes irréductibles $\Gamma_o := \bar{W}_{o,s}$ et $\Gamma_t := \bar{W}_{t,s}$.

On a $f^{-1}(q_0) \subset \Gamma_o \cap \Gamma_t \subset \Gamma_o \setminus W_{o,s}$ et ce dernier est réduit à un point (par unicité de la compactification de $W_{o,s}$ par des points réguliers). Par conséquent, $f^{-1}(q_0)$ est réduit à un point q .

Notons $\rho : Z \rightarrow \mathcal{C}_s$ la normalisation en q . On a la suite exacte

$$0 \rightarrow \mathcal{O}_{\mathcal{C}_s} \rightarrow \rho_* \mathcal{O}_Z \rightarrow \mathcal{F} \rightarrow 0,$$

où \mathcal{F} est un faisceau gratte-ciel à support dans q et avec $\mathcal{F}(\mathcal{C}_s) = \mathcal{O}'_{\mathcal{C}_s, q} / \mathcal{O}_{\mathcal{C}_s, q}$ (où ' signifie clôture intégrale). On en déduit une suite exacte longue

$$0 \rightarrow k \rightarrow k^2 \rightarrow \mathcal{F}(\mathcal{C}_s) \rightarrow H^1(\mathcal{C}_s, \mathcal{O}_{\mathcal{C}_s}) \rightarrow H^1(Z, \mathcal{O}_Z) \rightarrow 0$$

avec $\dim_k H^1(\mathcal{C}_s, \mathcal{O}_{\mathcal{C}_s}) = g(C)$. Calculons $H^1(Z, \mathcal{O}_Z)$. Soit Γ'_o la normalisation de Γ_o en q , c'est aussi le complété de $W_{o,s}$ par adjonction d'un point régulier. Il est facile de voir que $p_a(\Gamma'_o) = (m_o - 1)(p - 1)/2 = g(C)$. Or $H^1(Z, \mathcal{O}_Z) \rightarrow H^1(\Gamma'_o, \mathcal{O}_{\Gamma'_o})$ est surjectif car Γ'_o est une composante connexe de Z , il suit que $\dim_k H^1(Z, \mathcal{O}_Z) \geq g(C)$, et donc $\dim_k \mathcal{F}(\mathcal{C}_s) = 1$. Cela implique que q est un point double ordinaire. \square

Corollaire 46 *Soient $d_o \geq 0$, $d_t \geq 0$ et $e > 0$ des entiers tels que $d_t - d_o = em_o(p - 1)$. On suppose que d_o (resp. d_t) est nul si et seulement si G_o (resp. G_t) est étale. Alors il existe une R -déformation du carré cocartésien (6) telle que les différentes aux bords soient d_o et d_t .*

Preuve : Il suffit de considérer le morphisme $\hat{\mathcal{O}}_{\mathcal{P}, q_0} \rightarrow \hat{\mathcal{O}}_{\mathcal{C}, q}$ de la proposition précédente. \square

Intéressons nous maintenant au relèvement des points réguliers ramifiés.

Proposition 47 *Soit $f : \text{Spec} k[[u]] \rightarrow \text{Spec} k[[v]]$ un morphisme tel que le morphisme induit $\text{Spec} k((u)) \rightarrow \text{Spec} k((v))$ soit un α_p -torseur défini par une fonction $w \in k((v))$ de valuation $1 - pm$ avec $m \geq 0$. Soit $n > 0$ un entier. Alors il existe un morphisme $\text{Spec} R[[U]] \rightarrow \text{Spec} R[[V]]$ tel que le morphisme induit $\text{Spec} R[[U]][1/U] \rightarrow \text{Spec} R[[V]][1/V]$ soit un \mathcal{M}_n -torseur et dont la fibre spéciale est f .*

Preuve : Par définition de w , $k((u))$ est de la forme $k((v))[u]/(u^p - w)$. Quitte à changer de paramètre v , on peut supposer que $w = v^{1-pm}$. Par suite,

$$R[[V]][U]/(U^p - t^{(p-1)n}V^{(p-1)m}U + V)$$

convient. □

4.4 Preuve du théorème 41

Cette démonstration s'inspire de celle du théorème de relèvement de [7].

Par définition d'un graphe de Hurwitz adapté, on a une inclusion canonique $\Gamma_{\mathcal{Y}_s} \rightarrow \Gamma$, on considèrera donc les sommets de $\Gamma_{\mathcal{Y}_s}$ également comme des sommets de Γ . On note y_1, \dots, y_n les points lisses de \mathcal{Y}_s en lesquels f_s n'est pas un torseur et $x_i = f_s(y_i)$. On reprend alors les notations de la proposition 44.

Comme f_s n'est pas un homéomorphisme, il existe un sommet $\tilde{v} \in \Gamma_{\mathcal{Y}_s}$ tel que la restriction de f_s à un ouvert non vide de $F_{\tilde{v}}^0$ soit étale. Par suite, $d(\tilde{v}) = 0$. Les conditions de compatibilités sur les différents imposent alors que pour tout sommet \tilde{v}_1 de Γ , on ait $(p-1)|d(\tilde{v}_1)$. Soit v un sommet de $\Gamma_{\mathcal{X}_s}$ et \tilde{v} un sommet de $\Gamma_{\mathcal{Y}_s}$ au dessus de v . Notons $n_v = d(\tilde{v})/(p-1)$. Cet entier est indépendant du choix du relèvement \tilde{v} car Γ est un graphe de Hurwitz. Supposons dans un premier temps que \tilde{v} est fixe sous l'action de G . D'après le corollaire 29, il existe un \mathcal{M}^{n_v} -torseur U_v au dessus de \mathcal{X}_v relevant f_s au dessus de $\mathcal{X}_{v,s}$. Supposons maintenant que \tilde{v} n'est pas fixe sous l'action de G . Posons $U_v := G \times \mathcal{X}_v$. On a alors une projection canonique $U_v \rightarrow \mathcal{X}_v$. Dans tout les cas, $U_v \rightarrow \mathcal{X}_v$ est un G -revêtement galoisien.

Soit $i \in \{1, \dots, n\}$. Alors, par l'hypothèse (H₂), f_s est un homéomorphisme au voisinage de y_i . Notons v_i le sommet correspondant à la composante contenant x_i et \tilde{v}_i le sommet de Γ au dessus de v_i . L'hypothèse (H₂) et la proposition 47 permettent de relever $f_{s,y} : \text{Spec} \hat{\mathcal{O}}_{\mathcal{Y}_s,y} \rightarrow \text{Spec} \hat{\mathcal{O}}_{\mathcal{X}_s,x_i}$ et ainsi définir un G -revêtement galoisien U_i de \mathcal{X}_i telle que la différentielle en le point générique de $\mathcal{X}_{i,s}$ soient $d(\tilde{v}) = (p-1)n_i$. Construisons maintenant l'isomorphisme ϕ_i . On sait que

$$\mathcal{O}_{U_{v_i}, \eta_i} \otimes_{\mathcal{O}_{x, \eta_i}} (\widehat{\mathcal{O}}_{x, x_i})_{\eta_i} \cong R[[T]]\{T^{-1}\}[U]/(U^p - t^{n_i}U - Q)$$

avec $Q \in R[[T]]\{T^{-1}\}$ et

$$\mathcal{O}_{U_i, \eta_i} \otimes_{\mathcal{O}_{x, \eta_i}} (\widehat{\mathcal{O}}_{x, x_i})_{\eta_i} \cong R[[T]]\{T^{-1}\}[U']/(U'^p - t^{n_i}U' - Q')$$

avec $Q' \in R[[T]]\{T^{-1}\}$ et $Q = Q' \pmod{t}$. Par suite, $Q = T^{-m}(\alpha + tQ_1(1/T) + TQ_2(T) + tQ_3(T))$ avec $Q_1 \in R\{T\}$, $Q_2, Q_3 \in R[[T]]$, $\alpha \in R \setminus tR$ et $m > 0$ un entier premier à p . Posons $T' = T(\alpha + tQ_1(1/T) + TQ_2(T) + tQ_3(T))^{1/m}$. Alors T' est un paramètre local de \mathcal{X} en x_i et on a donc

$$\mathcal{O}_{U_{v_i}, \eta_i} \otimes_{\mathcal{O}_{x, \eta_i}} (\widehat{\mathcal{O}}_{x, x_i})_{\eta_i} \cong R[[T']]\{T'^{-1}\}[U]/(U^p - t^{n_i}U - T'^{-m}).$$

De même, on peut trouver un paramètre T'' de $R[[T]]\{T^{-1}\}$ tel que

$$\mathcal{O}_{U_i, \eta_i} \otimes_{\mathcal{O}_{x, \eta_i}} (\widehat{\mathcal{O}_{x, x_i}})_{\eta_i} \cong R[[T'']\{T''^{-1}\}[U']/(U'^p - t^{n_i}U' - T''^{-m}).$$

Le morphisme ϕ_i est alors défini par $\phi_i(T') = T''$ et $\phi_i(U) = U'$.

Soit a une arête de Γ_{x_s} et \tilde{a} une arête de Γ_{y_s} au-dessus de a . Supposons dans un premier temps que \tilde{a} est fixe sous l'action de G , la proposition 46 permet de construire un relèvement U_a de f_s au dessus de \mathcal{X}_a avec, au bord de la couronne formelle, les différentes $d(o(\tilde{a}))$ et $d(t(\tilde{a}))$. Par suite, on peut contruire des isomorphismes ϕ_a et $\phi_{\tilde{a}}$ par la même méthode que pour les points x_i . Supposons maintenant que \tilde{a} n'est pas fixe sous l'action de G . On pose $U_a := G \times \mathcal{X}_a$. Supposons que $o(a)$ soit non fixe sous l'action de G , on peut alors définir l'isomorphisme ϕ_a comme provenant de l'isomorphisme $\alpha_a^* \mathcal{O}_{\mathcal{X}_a} \rightarrow \beta_a^* \mathcal{O}_{\mathcal{X}_{o(a)}}$. Supposons maintenant que $o(a)$ est fixe sous l'action de G . Comme a n'est pas fixe, l'action de G est non triviale sur $o(a)$ et on a un isomorphisme de $\mathcal{O}_{\mathcal{X}_{o(a)}}[G]$ -module $\mathcal{O}_{U_{o(a)}} \otimes_{\mathcal{O}_{\mathcal{X}_{o(a)}}} \mathcal{O}_{\mathcal{X}_a} \cong G \times \mathcal{O}_{\mathcal{X}_a}$. On obtient donc un isomorphisme, noté ϕ_a ,

$$\mathcal{O}_{U_{o(a)}} \otimes_{\mathcal{O}_{\mathcal{X}_{o(a)}}} \mathcal{O}_{\mathcal{X}_a} \cong G \times \mathcal{O}_{\mathcal{X}_a} \cong G \times \mathcal{O}_{\mathcal{X}_a} \otimes_{\mathcal{O}_{\mathcal{X}_a}} \mathcal{O}_{\mathcal{X}_a} = U_a \otimes_{\mathcal{O}_{\mathcal{X}_a}} \mathcal{O}_{\mathcal{X}_a}.$$

Par suite, le théorème 44 nous permet de construire une G -algèbre galoisienne \mathcal{A} de sorte que $\mathrm{Spf}(\mathcal{A})$ réponde à la question. \square

Remarque 48 On peut remarquer que dans les données du théorème précédent, il n'y a pas de condition de cocycle à vérifier.

5 Un théorème de relèvement des courbes hyperelliptiques

On fixe un anneau de valuation discrète complet R . On souhaite montrer dans cette section que toute courbe stable hyperelliptique C sur $\mathrm{Spec}(k)$ (cf. définition 36) s'étend, quitte à faire une extension finie de R , en une courbe hyperelliptique \mathcal{C} sur $\mathrm{Spec}(R)$ dont la fibre générique est lisse, et ceci indépendamment des caractéristiques de K et k . Les techniques utilisées n'étant pas différentes de celles utiles pour le relèvement des revêtements p -admissibles en général, on traitera ce dernier cas.

Le cas où $\mathrm{car} k \neq p$ est traité dans [5] Théorème 3.7, on supposera désormais que $\mathrm{car} k = p$. On étudira d'abord le cas d'égale caractéristique et on montrera que cela implique le cas d'inégale caractéristique.

5.1 Réduction des hypothèses du théorème 41

On suppose ici que $\mathrm{car} k = p$. Comme on ne peut pas déformer μ_p en $\mathbb{Z}/p\mathbb{Z}$ en égale caractéristique p , il est nécessaire de se restreindre au cas où les torseurs intervenant dans les revêtements p -admissibles sont des α_p ou des $\mathbb{Z}/p\mathbb{Z}$ -torseurs.

Théorème 49 Soit k un corps algébriquement clos de caractéristique $p > 0$. Soit $(f : Y \rightarrow X, \{(G_v, u_v)\})$ un revêtement p -admissible de courbes semi-stables sur k . Supposons que $p_a(X) = 0$. Alors il existe un revêtement p -admissible $(f : Y \rightarrow X, \{(G'_v, u'_v)\})$ tel que pour tout v , on a $G'_v \neq \mu_p$ (i.e. on a éliminé les μ_p -torseurs du revêtement p -admissible).

Plus précisément, si $G_v \neq \mu_p$ alors $(G'_v, u'_v) = (G_v, u_v)$. Si $G_v = \mu_p$, on a $G'_v = \alpha_p$, et pour toute arête a d'origine v telle que $m(a) \neq 0$, le conducteur $m'(a)$ associé à G'_v en a vérifie $m'(a) = m(a)$.

Preuve : D'après le lemme 33 (c), quitte à remplacer notre revêtement p -admissible par un autre qui lui est équivalent, on peut supposer que pour tout sommet v avec $G_v = \mu_p$, et pour tout point P de F_v tel que $m(P) \neq 0$, on a $\text{Ord}_{f(P)}u_v = 0$.

On peut supposer qu'il existe un sommet v_0 tel que $G_{v_0} = \mu_p$. Soit $d(\cdot)$ la distance sur le graphe Γ_Y (elle existe même si Γ_Y n'est pas forcément un arbre). Nous allons construire les u'_v par récurrence sur $d(v_0, v)$, G'_v étant toujours défini comme dans l'énoncé du théorème. Posons $u'_{v_0} = u_{v_0}$. Pour toute arête a d'origine v_0 telle que $m(a) \neq 0$, on a $\text{Ord}_a du'_{v_0} = \text{Ord}_a(\frac{du_{v_0}}{u_{v_0}})$ donc $m'(a) = m(a)$. Fixons un entier $d \geq 0$. Supposons avoir construit u'_v pour tout v de distance $d(v_0, v) \leq d$, avec les propriétés suivantes :

- (A) $u'_v = u_v$ si $G \neq \mu_p$;
- (B) si $G_v = \mu_p$, alors u'_v/u_v est une puissance p -ième, et si a est une arête d'origine v tel que $m(a) \neq 0$, alors $m'(a) = m(a)$;
- (C) la condition de compatibilité $m'(a) = -m'(\bar{a})$ est vérifiée pour toute arête ramifiée reliant les sommets v de distance $d(v, v_0) \leq d$ (noter que $h'(a) = h'(\bar{a}) = 0$ car $G'_v = \alpha_p$).

Soit v un sommet de Γ_Y tel que $d(v, v_0) = d + 1$. Supposons que F_v rencontre les composantes $F_{\tilde{v}}$ avec $d(\tilde{v}, v_0) \leq d + 1$ en au moins deux points, alors F_v est contenu dans un cycle de Γ_Y . Comme Γ_X est un arbre, il suit que les points d'intersection de F_v avec ces autres composantes s'envoient sur le même point dans X , et sont donc non ramifiés pour f . Par suite, v ainsi que les sommets \tilde{v} tels que $d(\tilde{v}, v_0) \leq d + 1$ et que $F_v \cap F_{\tilde{v}} \neq \emptyset$ sont non ramifiés, et il n'y a pas d'arête ramifiée reliant v et \tilde{v} . On prend donc $u'_v = u_v$. Les conditions (A)-(C) ci-dessus sont triviales.

On peut donc supposer que v est relié à un unique sommet \tilde{v} tel que $d(\tilde{v}, v_0) \leq d + 1$, et que $F_v \cap F_{\tilde{v}} = \{P\}$. On a alors $d(\tilde{v}, v_0) = d$. Soit a l'arête reliant v à \tilde{v} . Supposons d'abord que $m(a) \neq 0$. Posons $u'_v = u_v$. Alors $m'(a) = m(a)$ (comme pour v_0 si $G_v = \mu_p$). Par hypothèse de récurrence, $m'(\bar{a}) = m(\bar{a})$ car ce dernier est non nul, il suit que $m'(a) = -m'(\bar{a})$. On a donc les conditions (A)-(C).

Il reste le cas où $m(a) = 0$. On a alors $G_v = \mu_p$ et $f(F_v) = \mathbb{P}_k^1$. De même pour $G_{\tilde{v}}$. La condition (B) sur \tilde{v} implique que $\text{Ord}_P u'_v$ est congru à $\text{Ord}_P u_{\tilde{v}}$ modulo p . Comme $h(a) = -h(\bar{a})$, il suit du lemme 33 (b) que $n'_v := \text{Ord}_P u'_v$ est congru à $-n_v$ modulo p , où $n_v := \text{Ord}_P u_v$. Il existe $Q \in f(F_v)$ tel que

$\text{Ord}_Q u_v$ soit premier à p (car n_v est premier à p). Choisissons un paramètre x de $f(F_v)$ avec $(x) = P - Q$. Soient $r = (n'_v + n_v)/p \in \mathbb{Z}$ et $u'_v = x^{pr} u_v$. alors $m'(\bar{a}) = -n'_v = 1 + \text{Ord}_P du'_v = -m'(a)$. On a donc vérifié la condition (C). Soit a_1 une arête d'origine v avec $m(a_1) \neq 0$. Alors le point P_1 correspondant à a_1 est distinct de P et Q . Il suit immédiatement du fait $x, u_v \in \mathcal{O}_{f(P_1)}^*$ que

$$m'(a_1) = -(1 + \text{Ord}_{P_1} du'_v) = -(1 + \text{Ord}_{P_1} du_v) = m(a_1).$$

Ce qui achève la vérification de la condition (B) ainsi que la preuve de ce théorème. \square

Proposition 50 *Soit $(f : Y \rightarrow X, \{(G_v, u_v)\}_v)$ un revêtement p -admissible tel que pour tout sommet v de Γ_Y , G_v soit isomorphe à $\mathbb{Z}/p\mathbb{Z}$ où α_p . Alors il existe un revêtement p -admissible $(f' : Y' \rightarrow X', \{(G'_{v'}, u'_{v'})\}_{v'})$ vérifiant les hypothèses (H₁) et (H₂) du théorème 41 et des immersions fermées $Y \rightarrow Y'$ et $X \rightarrow X'$ avec $p_a(X') = p_a(X)$, $p_a(Y') = p_a(Y)$.*

Preuve : Notons Y' (resp. X') la courbe semi-stable obtenue en ajoutant transversalement à Y (resp. X) une composante \mathbb{P}_k^1 en chaque point régulier P en lequel f n'est pas un torseur (resp. en $f(P)$). Pour chaque sommet v' de $\Gamma_{Y'}$ provenant d'un sommet v de Γ_Y , posons $(G'_{v'}, u'_{v'}) := (G_v, u_v)$. Soit v' un sommet de $\Gamma_{Y'}$ ne provenant pas d'un sommet de Γ_Y . Posons $G'_{v'} = \alpha_p$. Par construction, il existe un unique sommet \tilde{v} de $\Gamma_{Y'}$ tel que $F_{v'} \cap F_{\tilde{v}} \neq \emptyset$ et cette intersection est réduite à un point P . Notons $n := \text{Ord}_P u_{\tilde{v}}$. On montre aisément qu'il existe un entier $q > 0$ et des entiers $n_1, \dots, n_q \geq 0$ tels que

$$n = \sum_{i=1}^q 1 - n_i p.$$

Notons V la composante ajoutée à X en $f(P)$. Soient P_1, \dots, P_q des points de V distincts deux à deux et de $f(P)$. Alors il existe $u_{v'} \in H^0(V \setminus \{f(P), P_1, \dots, P_q\}, \mathcal{O}_V^*)$ tel que $(u_{v'}) = -nf(P) + \sum_i (1 - pn_i)P_i$. Cette section rationnelle permet alors de munir un ouvert dense de $F_{v'}^0$ d'une structure de $G_{v'}$ torseur telle que l'hypothèse (H₂) soit vérifiée et ceci permet de définir un morphisme $f' : Y' \rightarrow X'$. On montre alors aisément que $(f' : Y' \rightarrow X', \{(G'_{v'}, u'_{v'})\}_{v'})$ est un revêtement p -admissible. \square

5.2 Construction des données de Hurwitz

Proposition 51 *Soient $(f : Y \rightarrow X, \{(G_v, u_v)\}_v)$ un revêtement p -admissible avec $p_a(Y) \geq 2$ et $p_a(X) = 0$. On suppose que si la caractéristique de K est p , la description du revêtement p -admissible f ne fait pas intervenir de μ_p -torseurs. Alors, quitte à faire une extension finie de K , il existe un modèle \mathcal{X} de X sur R et un graphe de Hurwitz Γ adapté à \mathcal{X} et à $(f : Y \rightarrow X, \{(G_v, u_v)\}_v)$.*

Preuve : Notons Γ le graphe orienté (l'orientation étant choisie arbitrairement) dont l'ensemble des sommets est la réunion de l'ensemble des sommets de Γ_Y et de l'ensemble des points de Y en lesquels f n'est pas un torseur (cf. Exemple 39). Le graphe Γ vient alors naturellement avec des applications m, h vérifiant les conditions de compatibilités (cf. définition 32). Soit v un sommet de Γ , si v correspond à une composante irréductible Y_1 de Y , on pose $g(v) = p_a(Y_1)$ et sinon on pose $g(v) = 0$.

Par suite, les différentes égalités ne faisant intervenir que les fonctions g, m et h proviennent des égalités classiques mentionnée dans la définition des graphes de Hurwitz.

Il reste alors à définir les fonction ε et d . Étant donné que la courbe Y est stable de genre au moins 2, il y a au moins un sommet étale v_0 , éventuellement non fixe sous G (sinon Y serait de genre nulle). On peut choisir un ordre partiel (comme dans la démonstration de 49) sur Γ' (car celui-ci est un arbre) tel que v_0 soit le plus petit élément pour cette ordre. Nous allons construire les fonctions ε et d par "récurrence" sur cet ordre partiel.

Posons $d(v_0) = 0$. Soit a une arête de Γ_X joignant v_1 à v_2 avec $v_1 \leq v_2$. Supposons que d soit déjà défini en v_1 , nous allons la définir en v_2 .

- Si v_2 est étale, posons $d(v_2) = 0$. Comme on a $m(\bar{a}) > 0$ (car \bar{a} est une arête d'origine étale) et que $d(v_1) \geq 0$, on peut prendre $\varepsilon(a) = -\frac{d(v_1)}{m(a)(p-1)} \geq 0$.
- Si v_2 est additif
 - Si v_1 est étale alors $m(a) > 0$ et $d(v_1) = 0$, on peut donc trouver $\varepsilon(a)$ tel que $0 < (p-1)\varepsilon(a)m(a)$ et par suite, on pose $d(v_2) = (p-1)\varepsilon(a)m(a)$
 - Si v_1 est additif on a $0 < d(v_1)$ donc on peut prendre $\varepsilon(a)$ tel que $0 < d(v_1) + (p-1)m(a)\varepsilon(a)$, on pose alors $d(v_2) = d(v_1) + m(a)\varepsilon(a)(p-1)$

Dans tout les cas, on peut trouver $d(v_2)$ et $\varepsilon(a)$ tel que

$$d(v_2) - d(v_1) = (p-1)m(a)\varepsilon(a).$$

On peut donc construire par récurrence des applications ε et d à valeur rationnelle vérifiant les hypothèses. Par suite, quitte à multiplier ε et d par une même constante, on peut supposer qu'elles sont à valeurs entières. En relevant ces applications sur Γ , on fait de celui-ci un graphe de Hurwitz.

On peut alors construire une modèle \mathcal{X} sur R de X tel Γ soit un graphe de Hurwitz adapté à \mathcal{X} et à $(f, \{(G_v, u_v)\}_v)$ d'après [5] Proposition 2.6. \square

5.3 Théorème de relèvement des courbes hyperelliptiques stables

Théorème 52 *Soit R un anneau de valuation discrète complet d'égale caractéristique p . Soit $C \rightarrow \text{Spec}(k)$ une courbe stable hyperelliptique. Alors, quitte à*

faire une extension finie de R , il existe une courbe $C \rightarrow \text{Spec}(R)$ hyperelliptique semi-stable dont la fibre générique est lisse et dont la fibre spéciale est isomorphe à C .

Preuve : Dans le cas où C est lisse il suffit de relever une équation de k à R . On peut donc supposer que C n'est pas lisse.

D'après la proposition 38, la courbe C vient naturellement avec un revêtement 2-admissible $f : Y \rightarrow X$ si $\text{car } k \neq 2$ (ou $(f : Y \rightarrow X, \{(G_v, u_v)\})$ si $\text{car } k = 2$) où $p_a(Y) = p_a(C)$ et Y est obtenue de C en ajoutant des composantes \mathbb{P}_k^1 .

Supposons tout d'abord que la caractéristique de k est 2. D'après la réduction précédente (théorèmes 49 et 50), on peut supposer que le revêtement $(f, \{(G_v, u_v)\}_v)$ vérifie les hypothèses (H_1) et (H_2) du théorème 41. Par suite, grâce à la proposition 51, on peut construire, quitte à faire une extension finie de K , un modèle \mathcal{X} de X et un arbre de Hurwitz Γ adaptée au revêtement à \mathcal{X} et à $(f, \{(G_v, u_v)\}_v)$. On applique alors le corollaire 43 qui nous fournit le relèvement $\mathcal{Y} \rightarrow \mathcal{X}$. Le modèle stable \mathcal{C} de \mathcal{Y}_K répond à la question.

Regardons maintenant le cas où la caractéristique de k est différente de 2. On a une action kummerienne de $G = \mathbb{Z}/2\mathbb{Z}$ sur Y dont le quotient est X . Comme le cardinal de G est premier, on peut appliquer le théorème 3.7 de [5] qui nous prouve que cette action se relève en un modèle semi-stable $\mathcal{Y} \rightarrow \text{Spec}(R)$. Finalement, le modèle stable \mathcal{C} de \mathcal{Y}_K répond à la question. \square

Corollaire 53 *Soient k un corps algébriquement clos et $C \rightarrow k$ une courbe stable hyperelliptique. Alors il existe un anneau de valuation discrète R d'inégales caractéristiques et dont le corps résiduel est k , et une courbe $C \rightarrow \text{Spec } R$ dont la fibre générique est lisse et hyperelliptique et dont la fibre spéciale s'identifie à C .*

Preuve : D'après le théorème précédent, on peut relever C en une courbe $\mathcal{C}_1 \rightarrow \text{Spec } R_1$ où R_1 est un anneau de valuation discrète d'égale caractéristique. D'autre part, on peut relever la fibre générique de \mathcal{C}_1 en une courbe lisse sur un anneau de valuation discrète R_2 dont le corps des fractions est de caractéristique zéro (car il suffit de relever une équation hyperelliptique). Ceci prouve que le point générique de l'anneau local du point correspondant à $C \rightarrow \text{Spec } k$ dans \bar{I}_g correspond à une courbe lisse en caractéristique zéro. Le résultat est alors direct. \square

Remarque 54 Le théorème 52 et le corollaire 53 sont encore vrais pour des revêtements p -admissibles d'une courbe de genre zéro, la preuve du corollaire 53 devant être adaptée car il n'y a pas, a priori, d'espace de module jouant le rôle de \bar{I}_g .

Théorème 55 *Soit S le spectre d'un anneau de valuation discrète R . On a l'égalité (ensembliste) $\bar{I}_{g,S} \times_S \text{Spec } \kappa(s) = \bar{I}_{g,s}$. En particulier, $\bar{I}_{g,S} \times_S \text{Spec } \kappa(s)$ est irréductible.*

Preuve : Quitte à faire un changement de base plat, on peut supposer R complet. La première partie du théorème découle directement de ce qui précède. En effet, par construction on a une immersion fermée $\bar{I}_{g,s} \rightarrow \bar{I}_{g,S} \times_S \text{Spec } \kappa(s)$. Soit \mathfrak{p} un point de $\bar{I}_{g,S} \times_S \text{Spec } \kappa(s)$. Alors \mathfrak{p} correspond à une courbe stable hyperelliptique (car spécialisation d'un point correspondant à une courbe lisse hyperelliptique). Le théorème 52 implique alors que ce point est dans l'adhérence du lieu des courbes lisses hyperelliptiques sur $\kappa(s)$. C'est donc un point de $\bar{I}_{g,s}$.

L'irréductibilité de $\bar{I}_{g,S} \times_S \text{Spec } \kappa(s)$ provient alors de l'irréductibilité de $I_{g,\text{Spec } \kappa(s)}$ montrée dans [14] Theorem 4.1. \square

A Calcul en caractéristique différente de 2

Dans toute cette section, R sera un anneau de valuation discrète de caractéristique résiduelle différente de 2. On note $S = \text{Spec}(R)$, $\mathcal{C} \rightarrow S$ une courbe stable hyperelliptique de genre $g \geq 2$ dont la fibre générique est lisse et dont la fibre spéciale possède deux composantes irréductibles lisses ou bien une seule composante irréductible avec un point singulier. Sous ces hypothèses, on se propose de démontrer explicitement les inégalités (2). Ce calcul reprend les idées exposées dans [8]. Toutefois, la partie combinatoire n'est pas utile ici car les courbes sont suffisamment simples.

Proposition 56 *Si \mathcal{C}_s possède un unique point singulier de type β_j (cf. la discussion suivant la remarque 5) alors*

$$\text{Ord}_s(\Lambda) = 4(g - j)j\delta_s.$$

Si \mathcal{C}_s possède deux points singuliers de type α_j alors

$$\text{Ord}_s(\Lambda) = (g - j)(j + 1)\delta_s.$$

Preuve : Soit σ l'involution hyperelliptique de \mathcal{C}_η . Par unicité du modèle stable, σ se prolonge en une involution de \mathcal{C} . On peut remarquer que dans le cas qui nous intéresse, les composantes irréductibles de \mathcal{C}_s sont fixes par σ . Notons $Y = \mathcal{C}/\langle \sigma \rangle$. Quitte à faire une extension finie du corps de base K , on peut supposer que les points fixes de \mathcal{C}_η sous l'involution hyperelliptique sont rationnels, notons les a_1, \dots, a_{2g+2} . Par suite, notons b_1, \dots, b_{2g+2} leurs images dans Y_η .

Lemme 57 *Les spécialisations des a_i qui sont dans le lieu lisse de \mathcal{C}_s sont deux à deux distinctes.*

Preuve : En effet, au voisinage d'un point a_i qui se spécialise dans le lieu lisse, \mathcal{C} est de la forme $\text{Spec}R[x, y]/(y^2 - Q(x))$, b_i correspondant à un zéro de Q . Si b_i et b_j ont même spécialisation \mathfrak{q} , la courbe \mathcal{C} sera non singulière en \mathfrak{q} si et seulement si $i = j$. \lrcorner

Lemme 58 *Si les points singuliers ne sont pas de type α_0 , les b_i se spécialisent dans le lieu lisse de Y_s .*

Preuve : Si les points singuliers sont du type α_j ($j > 0$), alors ils ne sont pas fixes par σ et donc ne sont pas spécialisations de b_i . Supposons donc que le point singulier de \mathcal{C}_s est du type β_j . Raisonnons par l'absurde et supposons que b_i se spécialise dans un point singulier. Par suite, le point a_i se spécialise en un point singulier \mathfrak{p} de \mathcal{C}_s . Notons $\tilde{\mathcal{C}}$ l'éclaté de \mathcal{C} en p de sorte que a_i se spécialise en un point lisse de $\tilde{\mathcal{C}}$. Comme \mathfrak{p} est fixe par l'involution hyperelliptique, σ se prolonge en une involution de $\tilde{\mathcal{C}}$. Notons $\tilde{Y} = \tilde{\mathcal{C}}/\langle\sigma\rangle$. Ainsi défini, \tilde{Y} est obtenu de Y en éclatant l'image de \mathfrak{p} dans Y_s . Notons E la transformée stricte de \mathfrak{p} par le morphisme $\tilde{\mathcal{C}} \rightarrow \mathcal{C}$ et F son image dans \tilde{Y} . Le morphisme $\tilde{\mathcal{C}} \rightarrow \tilde{Y}$ définit alors un morphisme génériquement séparable de degré deux $E \rightarrow F$ (car la caractéristique résiduelle de R est différente de 2 et σ est non triviale sur E). Notons α et β l'intersection de E avec le lieu singulier de $\tilde{\mathcal{C}}$. Les points α , β et la spécialisation de b_i sur E sont alors fixes par l'involution σ . Le morphisme $E \rightarrow F$ possède alors au moins trois points de ramification, ce qui contredit le fait que E est de genre nulle. \square

Lemme 59 *Si le point singulier est de type α_0 alors il y a exactement deux b_i se spécialisant dedans.*

Preuve : Pour des questions de genre de la composante irréductible de \mathcal{C}_s (formule de Hurwitz), au moins deux b_i se spécialisent dans le point singulier. Si on suppose qu'au moins trois b_i se spécialisent dans le lieu singulier de Y_s , le même raisonnement que dans la démonstration du lemme précédent conduit à une contradiction sur le genre de \mathcal{C}_s . \square

Dans le cas où le point singulier est de type α_0 on peut, grâce à ce lemme, se ramener à un calcul analogue à celui des courbes ayant des points singuliers du type α_j avec $j > 0$ en déployant les spécialisations des points b_i se spécialisant dans le lieu singulier.

Notons Y_1 et Y_2 les deux composantes irréductibles de Y_s . Si on regarde la courbe Y du point de vue de la géométrie rigide, on peut considérer Y_1 comme l'ensemble des points de modules 1 et Y_2 comme l'ensemble des points de modules $|t^b|$ où b est l'épaisseur du point singulier de Y_s dans Y et t est une uniformisante de R . Ce choix correspond alors à un certain paramètre x de Y_η qu'on fixe pour le reste de cette démonstration.

Notons $y^2 + Q(x)y - P(x)$ une équation affine de \mathcal{C}_η (le paramètre x étant le paramètre fixé précédemment). Dire que les b_i sont rationnels équivaut à dire que $f = Q^2 + 4P$ est décomposé. Notons $f = A \prod (x - c_i)$. On va alors évaluer les différents facteurs de Λ . Dans le cas d'une courbe ayant un point du type β_j , on a une configuration donnée par la figure 2 (cf [1], §4) et dans le cas d'une courbe ayant deux points de type α_j (éventuellement $j = 0$ quitte à faire un éclatement) on a une configuration donnée par la figure 3.

FIG. 2: Point de type β_j

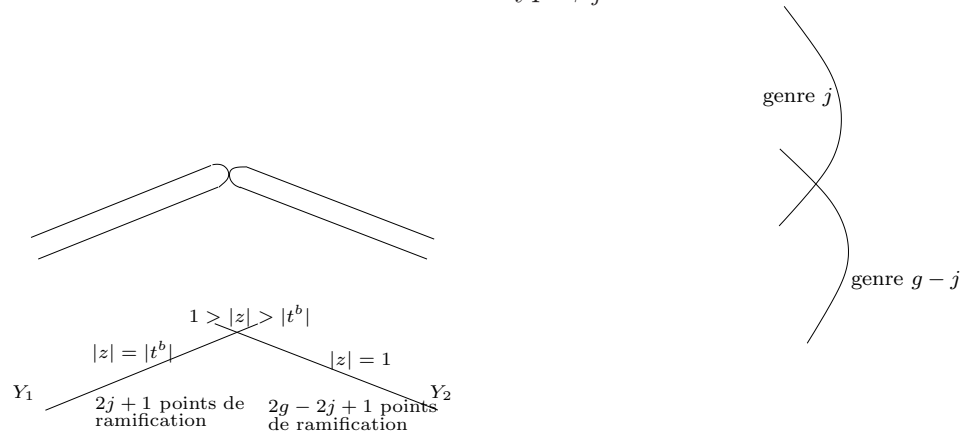
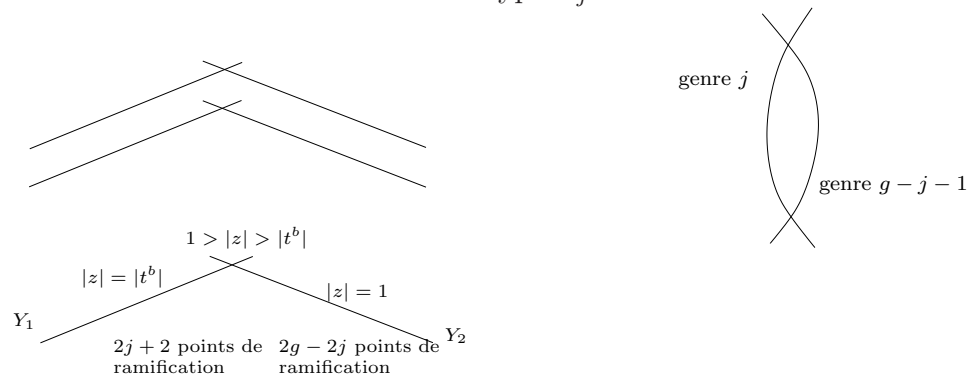


FIG. 3: Point de type α_j



On peut lire les normes $|c_i - c_k|$ en fonction des composantes sur lesquelles se spécialisent b_i et b_k dans Y_s . On trouve directement

$$\begin{aligned} \text{type } \alpha_j \quad |\Delta| &= |A|^{4g+2} \prod_{i \neq k} |c_i - c_k| = |A|^{4g+2} |t^{b(2j+1)(2j+2)}| \\ \text{type } \beta_j \quad |\Delta| &= |A|^{4g+2} \prod_{i \neq k} |c_i - c_k| = |A|^{4g+2} |t^{b2j(2j+1)}| \end{aligned}$$

On construit alors une base de $H^0(\mathcal{C}, \omega_{\mathcal{C}/\text{Spec}(R)})$ comme dans [8], proposition 5.5.

Lemme 60 *Dans le cas β_j on a*

$$\text{div}_{\text{vert}}\left(\frac{dx}{2y+Q}\right) = -\frac{1}{2}\nu(A)Y_1 + \left(-\frac{1}{2}\nu(A) - \frac{1}{2}(2j-1)b\right)Y_2$$

et dans le cas α_j on a

$$\text{div}_{\text{vert}}\left(\frac{dx}{2y+Q}\right) = -\frac{1}{2}\nu(A)Y_1 + \left(-\frac{1}{2}\nu(A) - \frac{1}{2}(2j)b\right)Y_2$$

Preuve : On donne la démonstration dans le cas β_j , la démonstration étant semblable dans le cas α_j . Soit $i \in \{1, 2\}$ fixé. Soit x' un paramètre de Y_η relevant un paramètre de Y_i (on peut prendre par exemple x pour Y_1 et xt^{-b} pour Y_2). Notons $U = \text{Spec}(A)$ un voisinage affine dans Y du point générique de Y_i ne rencontrant pas l'autre composante. Notons B la clôture intégrale de A dans $\kappa(\mathcal{C})$. D'après [12], Lemme 1, B est libre sur A , de rang 2 et il existe y' tel que $\{1, y'\}$ soit une base de B sur A . Notons $y'^2 + \tilde{Q}(x')y' - \tilde{P}(x')$ une équation affine associée. Notons

$$\omega = \frac{dx'}{(2y' + \tilde{Q}(x'))}$$

une base locale du faisceau dualisant (c.f. [11], Lemme 2).

D'autre part, comme $\{1, y\}$ est une base de $A \times K$ on a $y = t^{\zeta_i}y' + s(x)$. Notons $\tilde{f} = \tilde{Q}^2 + 4\tilde{P}$. En remplaçant y par $t^{\zeta_i}y' + s(x)$ dans l'équation $y^2 + Qy - P$ on trouve que

$$\begin{aligned} t^{\zeta_i}\tilde{Q}(x') &= 2s(x) + Q(x) \\ -t^{2\zeta_i}\tilde{P}(x') &= Q(x)s(x) + s(x)^2 - P(x) \end{aligned}$$

donc $t^{2\zeta_i}\tilde{f}(x') = f(x)$. De plus, comme Y_i est réduite (c'est à dire que la réduction de \tilde{f} à k est non nulle), on a $|\tilde{f}| = 1$

Notons $\nu_{Y_1}(f) = \sup_{|z|=1}(\nu(f(z)))$ et $\nu_{Y_2}(f) = \sup_{|z|=|t^b|}(\nu(f(z)))$. On a alors $\nu_{Y_1}(f) = \nu(A)$ et $\nu_{Y_2}(f) = \nu(A) + (2j+1)b$.

On a donc $2\zeta_1 = \nu(A)$ et $2\zeta_2 = \nu(A) + (2j+1)b$.

Finalement, comme

$$\frac{dx}{2y+Q} = \frac{t^b dx'}{t^{\zeta_i}(2y' + \tilde{Q}(x'))}$$

et ω est une base locale, on trouve que

$$\nu_{Y_1}\left(\frac{dx}{2y+Q}\right) = -\frac{1}{2}\nu(A)$$

et

$$\nu_{Y_2}\left(\frac{dx}{2y+Q}\right) = b - \frac{1}{2}\nu(A) - \frac{1}{2}(2j+1)b.$$

Ce qui nous donne bien le résultat souhaité. \square

Notons β l'un des points b_i qui se spécialise sur la composante Y_2 et, pour $0 \leq i \leq g-1$, posons

$$\omega_i = (x - \beta)^i \frac{dx}{2y+Q}.$$

Par suite, définissons $m_i = \min(\nu_{Y_2}(\omega_i), \nu_{Y_1}(\omega_i))$. On a alors, dans le cas présent

$$m_i = \min(\nu_{Y_2}(\omega_i), \nu_{Y_1}(\omega_0)) = \min(ib + \nu_{Y_2}(\omega_0), \nu_{Y_1}(\omega_0)).$$

Lemme 61 *Les $\{t^{-m_i}\omega_i\}$ forment une base de $H^0(\mathcal{C}, \omega_{\mathcal{C}/\text{Spec}(R)})$*

Preuve : Comme les ω_i forment une base de $H^0(\mathcal{C}_\eta, \omega_{\mathcal{C}_\eta/K})$, ils sont linéairement indépendants. Le diviseur $\text{div}(t^{-m_i}\omega_i)$ est effectif par construction donc $t^{-m_i}\omega_i \in H^0(\mathcal{C}, \omega_{\mathcal{C}/\text{Spec}(R)})$. Il reste à montrer que les ω_i sont générateurs.

Soit $\omega \in H^0(\mathcal{C}, \omega_{\mathcal{C}/\text{Spec}(R)})$, ω est de la forme $t^e h(x) \frac{dx}{2y+Q}$ avec $h \in R[X]$ primitif de degré $d \leq g-1$.

Comme $\text{div}(\omega) \geq 0$, on a pour tout $k \in \{1, 2\}$

$$\nu_{Y_k}(\omega) = e + \nu_{Y_k}(h(x)) + \nu_{Y_k}\left(\frac{dx}{2y+Q}\right) \geq 0.$$

Or, comme h est primitif, $\nu_{Y_2}(h) \leq db$ et $\nu_{Y_1}(h) \geq 0$ donc $e + db + \nu_{Y_2}(\omega_0) \geq 0$ et $e + \nu_{Y_1}(\omega_0) \geq 0$. C'est à dire que $e \geq -m_d$. Par suite, il existe un élément $c \in R$ tel que $\omega - ct^{-m_d}\omega_d = h_1(x) \frac{dx}{2y+Q}$ soit dans $H^0(\mathcal{C}, \omega_{\mathcal{C}/\text{Spec}(R)})$ avec h_1 de degré inférieur ou égal à $d-1$. Par récurrence, on montre ainsi que la famille $\{t^{-m_i}\omega_i\}$ est génératrice. \square

Finalement, on trouve que

$$\text{Ord}_s\left(\frac{dx}{2y+Q} \wedge \dots \wedge \frac{x^{g-1}dx}{2y+Q}\right) = \sum m_i$$

Un calcul simple nous montre que dans le cas présent on a

$$\begin{aligned} \text{type } \alpha_j &\Rightarrow \text{Ord}_s\left(\frac{dx}{2y+Q} \wedge \dots \wedge \frac{x^{g-1}dx}{2y+Q}\right) = -\frac{j^2+j}{2}b \\ \text{type } \beta_j &\Rightarrow \text{Ord}_s\left(\frac{dx}{2y+Q} \wedge \dots \wedge \frac{x^{g-1}dx}{2y+Q}\right) = -\frac{j^2}{2}b \end{aligned}$$

Finalement, on trouve que

$$\begin{aligned} \text{type } \alpha_j &\Rightarrow \text{Ord}_s(\Lambda) = 2(g-j)(j+1)b \\ \text{type } \beta_j &\Rightarrow \text{Ord}_s(\Lambda) = 2(g-j)jb \end{aligned}$$

Il ne reste donc plus qu'à relier δ_s à b .

Dans le cas β_j , on a $2\delta_s = b$, ceci provient du morphisme

$$\text{Spec}R[[xy]]/(xy - t^b) \rightarrow \text{Spec}R[[u, v]]/(uv - t^{2b})$$

donné par $u \mapsto x^2$ et $v \mapsto y^2$.

Dans le cas α_j , on trouve directement que $\delta_s = 2b$ (car les points singuliers de \mathcal{C}_s sont échangés par σ). Finalement, on trouve le résultat annoncé. \square

B Calcul en caractéristique 2

Dans cet appendice, on se propose de montrer les inégalités (2) par des calculs explicites dans le cas de certaines courbes en caractéristique résiduelle 2. Les résultats ne sont pas utilisés dans le reste de l'article.

Proposition 62 *Soit R un anneau de valuation discrète de caractéristiques $(0, 2)$. Soit $\mathcal{C} \rightarrow \text{Spec}(R)$ une courbe stable hyperelliptique dont la fibre générique est lisse et dont la fibre spéciale contient au plus deux composantes irréductibles. On a $g^2\delta_s \geq \text{Ord}_s(\Lambda) \geq g\delta_s$.*

Preuve : Le calcul est essentiellement le même que dans le cas de la caractéristique résiduelle $\neq 2$ sauf pour le calcul du discriminant, on se contente donc de détailler celui-ci.

Si \mathcal{C} est lisse, on a $\text{Ord}_s(\Lambda) = \delta_s = 0$ (voir par exemple [8], proposition 6.3). Si la fibre spéciale de \mathcal{C} possède une unique composante irréductible, celle-ci possédant un point singulier de type α_0 , on se ramène au cas de deux composantes par éclatement (après extension éventuelle de R).

Notons σ l'involution hyperelliptique. Soit $y^2 + Q(x)y - P(x)$ une équation affine de \mathcal{C}_η . Le discriminant de l'équation est alors $f = Q^2 + 4P$. La caractéristique résiduelle étant 2, on voit que les points fixes de \mathcal{C}_η sous l'action de σ se spécialisent par paire (exactement par paire pour des raisons semblables à celles exposées dans la démonstration du lemme 57).

Notons \mathcal{C}' la résolution complète des spécialisations des points fixes de \mathcal{C}_η sous l'action de σ . On peut alors avoir précisément la répartition des spécialisations des points fixes grâce à [6], théorème 4.5, en fonction du conducteur et de l'épaisseur des points doubles dans $\mathcal{C}/\langle\sigma\rangle$. On donne aux figures 4, 5, 6 et 7 les configurations possibles pour $(\mathcal{C}'/\langle\sigma\rangle)_s$ dans le cas où les composantes sont de genres j et $g-j$ (respectivement j et $g-j-1$ dans le cas d'une courbe ayant deux points singuliers de type α_j). On a représenté sur chaque figure la fibre spéciale de \mathcal{C} ainsi que celle de $\tilde{\mathcal{C}}$ (où $\tilde{\mathcal{C}}$ est la courbe obtenue de \mathcal{C} en déployant les spécialisations des points fixes de \mathcal{C} sous l'action de σ). Notons b l'épaisseur du point singulier de $\mathcal{C}'/\langle\sigma\rangle$.

FIG. 4: La réduction possède un seul point singulier et $b > 2\nu_K(2)$

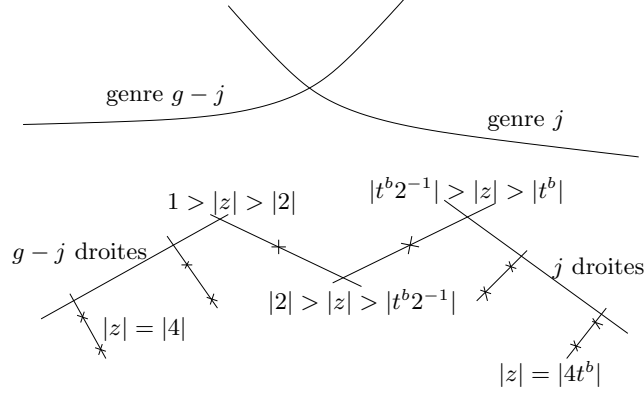
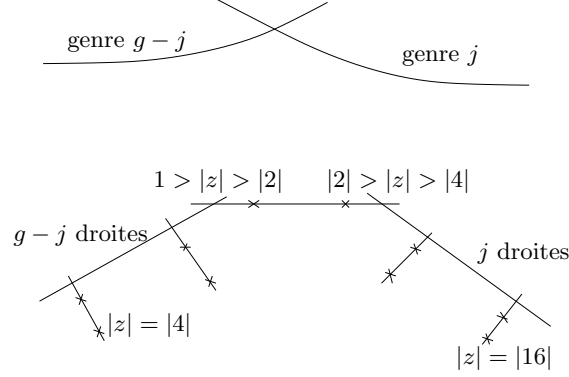


FIG. 5: La réduction possède un seul point singulier et $b = 2\nu_K(2)$



Dans le cas des figures 4, 5 et 6 (correspondant aux réduction possibles des courbes stables hyperelliptiques dont la fibre spéciale possède deux composantes irréductibles et ayant un unique point singulier, celui-ci étant de type β_j), on trouve, par un calcul direct, $|disc(f)| = |4^{2g+2}t^{b2j(2j+1)}|$ et par suite, d'après les calculs fait précédement pour les cas β_j (c.f. calcul en caractéristique zéro), on a

$$\text{Ord}_s(\Lambda) = 2(g-j)jb = (g-j)j\delta_s.$$

Dans le cas de la figure 7 (correspondant au courbes stables hyperelliptiques dont la fibre spéciale possède deux points singuliers de type α_j). Des calculs analogues au cas de la caractéristique zéro montrent que

$$|disc(f)| = |4^{2g+2}t^{b(2j+2)(2j+1)}|,$$

on a donc

$$\text{Ord}_s(\Lambda) = 2(g-j)(j+1)b + b = ((g-j)j)\delta_s$$

FIG. 6: La courbe possède un unique point singulier et $b < 2\nu_K(2)$

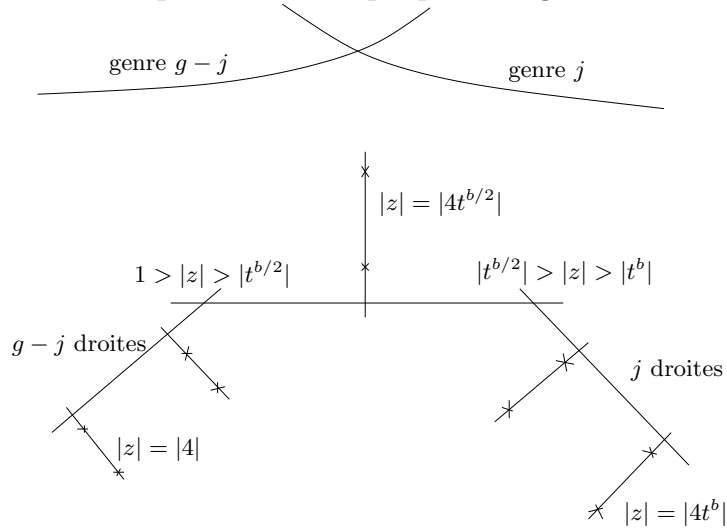
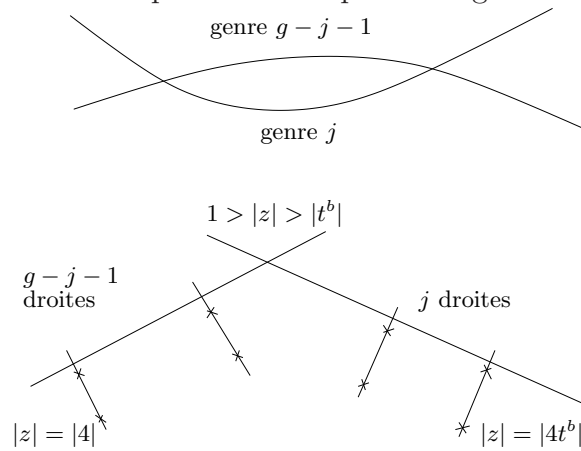


FIG. 7: La courbe possède deux points singuliers de type α_j



Références

- [1] M. Cornalba and J. Harris, *Divisor classes associated to families of stable varieties with applications to the moduli space of curves*, Ann. Sci. Ec. Norm. Sup. **21** (1988), 455–475.
- [2] Deligne and Mumford, *The irreducibility of the space of curves of given genus*, Pub. Math. IHES **36** (1969), 75–109.
- [3] A. Grothendieck and J. Dieudonné, *Éléments de géométrie algébrique IV*, Publ. Math. IHES, **32** (1967).
- [4] J. Harris and D. Mumford, *On the Kodaira dimension of the moduli space of curves*, Invent. Math. **67** (1982), 23–86.
- [5] Y. Henrio, *Relèvement galoisien des revêtements de courbes nodales*, preprint. <http://www.arxiv.org/ps/math.AG/0009154>.
- [6] ———, *Arbres de Hurwitz et automorphismes d'ordre p des disques et des couronnes p -adiques formelles*, à paraître dans Manuscripta Math.
- [7] ———, *Graphes de Hurwitz et courbes de Mumford sur un corps p -adique*, preprint.
- [8] I. Kausz, *A discriminant and an upper bound for ω^2 for hyperelliptic arithmetic surfaces*, Compositio Math. **115** (1999), 37–69.
- [9] O. A. Laudal and K. Lønsted, *Deformations of curves I. Moduli for hyperelliptic curves*, Lect. Notes in Math., **687**, Springer, Berlin (1978), 150–167.
- [10] Q. Liu, *Courbes stables de genre 2 et leur schéma de modules*, Math. Ann **295** (1993), 201–222.
- [11] ———, *Conducteur et discriminant minimal de courbes de genre 2*, Compositio Math. **94** (1994), 51–79.
- [12] ———, *Modèles entiers des courbes hyperelliptiques sur un corps de valuation discrète*, Trans. Amer. Math. Soc. **348** (1996), no. 11, 4577–4610.
- [13] ———, *Algebraic geometry and arithmetic curves*, Oxford Graduate Texts in Mathematics, 2002.
- [14] K. Lønsted, *The Hyperelliptic Locus with Special reference to Characteristic Two*, Math. Ann. **222** (1976), 55–61.
- [15] ——— and S. Kleiman, *Basics on families of hyperelliptic curves*, Compositio Math. **38** (1979), 83–111.
- [16] J. S. Milne, *Etale cohomology*, vol. 33, Princeton mathematical series, 1971.
- [17] L. Moret-Bailly, *Hauteurs et classes de chern sur les surfaces arithmétiques*, Astérisque **183** (1990), 37–58.
- [18] D. Mumford, *Lectures on curves on an algebraic surface*, vol. 59, Ann. of Math. Stud., 1966.

- [19] R. J. Pries, *Construction of covers with formal and rigid geometry*, Courbes semi-stables et groupe fondamental en géométrie algébrique (Raynaud, Bost, Loeser, ed.), Progr. Math., **187** (2000), pp. 157–167.
- [20] M. Saïdi, *Revêtements étales abélien, courants sur les graphes et réduction semi-stables des courbes*, Manuscripta Math., **89** (1996), pp. 245-265.
- [21] ———, *Torsors under finite and flat group schemes of rank p with Galois action*, preprint <http://www.arxiv.org/ps/math.AG/0106246>.
- [22] ———, *Wild ramification and a vanishing cycles formula*, preprint <http://www.arxiv.org/ps/math.AG/0106248>.
- [23] ———, *Galois covers of degree p : semi-stable reduction and Galois action*, preprint <http://www.arxiv.org/ps/math.AG/0106249>.
- [24] G. Xiao, *Fibered algebraic surface with low slope*, Math. Ann **276** (1987), 449–466.

Sylvain Maugeais
 Laboratoire A2X, UMR 5465 CNRS
 Université de Bordeaux I
 351 cours de la Libération,
 33405 Talence Cedex, France
 e-mail : maugeais@math.u-bordeaux.fr